# Elettromagnetismo

Prof. Francesco Ragusa Università degli Studi di Milano

Lezione n. 37 - 18.05.2023

Potenziali elettrodinamici Invarianza di gauge Equazione dell'onda per i potenziali Potenziali ritardati Radiazione del dipolo elettrico

Anno Accademico 2022/2023

## Potenziale scalare e potenziale vettore

- Ricordiamo le relazioni fra campi e potenziali nel caso di campi variabili nel tempo (vedi diapositiva 241)
  - Vogliamo adesso scrivere l'equazione dell'onda per i potenziali
- Richiamiamo come avevamo introdotto le relazioni fra campi e potenziali
  - Ricordiamo le equazioni di Maxwell nel vuoto

$$\nabla \cdot \mathbf{E} = \frac{\rho}{\varepsilon_0}$$
  $\nabla \cdot \mathbf{B} = 0$   $\nabla \times \mathbf{E} = -\frac{\partial \mathbf{B}}{\partial t}$   $\nabla \times \mathbf{B} = \mu_0 \mathbf{J} + \frac{1}{c^2} \frac{\partial \mathbf{E}}{\partial t}$ 

- La divergenza del campo magnetico è nulla anche in elettrodinamica
  - ullet è pertanto possibile introdurre il potenziale vettore anche in elettrodinamica  $egin{array}{c} \mathbf{B} = oldsymbol{
    abla} imes \mathbf{A} \end{array}$

• Introduciamo questa relazione nella legge di Faraday

$$\nabla \times \mathbf{E} = -\frac{\partial \left(\nabla \times \mathbf{A}\right)}{\partial t} = -\nabla \times \frac{\partial \mathbf{A}}{\partial t} \longrightarrow \nabla \times \left(\mathbf{E} + \frac{\partial \mathbf{A}}{\partial t}\right) = 0$$

- Abbiamo pertanto trovato una combinazione di campi a rotore nullo
  - È il gradiente di un campo scalare

$$\mathbf{E} + \frac{\partial \mathbf{A}}{\partial t} = -\mathbf{\nabla}\phi$$
 $\mathbf{E} = -\mathbf{\nabla}\phi - \frac{\partial \mathbf{A}}{\partial t}$ 

## Equazioni per i potenziali

$$\mathbf{E} = -\mathbf{\nabla}\phi - \frac{\partial\mathbf{A}}{\partial t}$$
  $\mathbf{B} = \mathbf{\nabla}\times\mathbf{A}$ 

• I campi soddisfano automaticamente le equazioni di Maxwell omogenee

$$\mathbf{\nabla} \cdot \mathbf{B} = 0 \qquad \mathbf{\nabla} \times \mathbf{E} = -\frac{\partial \mathbf{B}}{\partial t}$$

- Adesso utilizziamo le altre due equazioni di Maxwell (con le sorgenti) per trovare le equazioni differenziali a cui obbediscono i campi A e  $\phi$
- La legge di Gauss

$$oldsymbol{
abla} \cdot \mathbf{E} = rac{
ho}{arepsilon_{lpha}}$$

$$egin{aligned} \mathbf{SS} \ \mathbf{
abla} \cdot \mathbf{E} &= rac{
ho}{arepsilon_0} \end{aligned} \qquad egin{aligned} -\mathbf{
abla}^2 \phi - rac{\partial \mathbf{
abla} \cdot \mathbf{A}}{\partial t} &= rac{
ho}{arepsilon_0} \end{aligned}$$

- ullet È un'equazione in cui i campi A e  $\phi$  sono accoppiati
- La legge di Ampère (il rotore di B)

$$\boldsymbol{\nabla} \times \mathbf{B} = \mu_0 \mathbf{J} + \frac{1}{c^2} \frac{\partial \mathbf{E}}{\partial t} \qquad \boldsymbol{\nabla} \times \boldsymbol{\nabla} \times \mathbf{A} = \mu_0 \mathbf{J} - \frac{1}{c^2} \frac{\partial \boldsymbol{\nabla} \phi}{\partial t} - \frac{1}{c^2} \frac{\partial^2 \mathbf{A}}{\partial t^2}$$

• Ricordiamo la relazione (diapositiva 82)  $\nabla \times (\nabla \times \mathbf{A}) = \nabla (\nabla \cdot \mathbf{A}) - \nabla^2 \mathbf{A}$ 

$$\nabla (\nabla \cdot \mathbf{A}) - \nabla^2 \mathbf{A} = \mu_0 \mathbf{J} - \frac{1}{c^2} \frac{\partial \nabla \phi}{\partial t} - \frac{1}{c^2} \frac{\partial^2 \mathbf{A}}{\partial t^2}$$

## Equazioni per i potenziali

$$\mathbf{\nabla} (\mathbf{\nabla} \cdot \mathbf{A}) - \mathbf{\nabla}^2 \mathbf{A} = \mu_0 \mathbf{J} - \frac{1}{c^2} \frac{\partial \mathbf{\nabla} \phi}{\partial t} - \frac{1}{c^2} \frac{\partial^2 \mathbf{A}}{\partial t^2}$$

Elaboriamo

$$rac{1}{c^2}rac{\partial^2\mathbf{A}}{\partial t^2} - \mathbf{
abla}^2\mathbf{A} = \mu_0\mathbf{J} - rac{1}{c^2}\mathbf{
abla}rac{\partial\phi}{\partial t} - \mathbf{
abla}ig(\mathbf{
abla}\cdot\mathbf{A}ig)$$

$$\left| \boldsymbol{\nabla}^{2} \mathbf{A} - \frac{1}{c^{2}} \frac{\partial^{2} \mathbf{A}}{\partial t^{2}} - \boldsymbol{\nabla} \left( \frac{1}{c^{2}} \frac{\partial \phi}{\partial t} + \boldsymbol{\nabla} \cdot \mathbf{A} \right) = -\mu_{0} \mathbf{J} \right| \quad \left| \boldsymbol{\nabla}^{2} \phi + \frac{\partial \boldsymbol{\nabla} \cdot \mathbf{A}}{\partial t} = -\frac{\rho}{\varepsilon_{0}} \right|$$

$$\left| \mathbf{\nabla}^2 \phi + \frac{\partial \mathbf{\nabla} \cdot \mathbf{A}}{\partial t} = -\frac{\rho}{\varepsilon_0} \right|$$

- Abbiamo pertanto un sistema di equazioni differenziali accoppiate
  - Il problema può essere semplificato utilizzando la non unicità dei potenziali
- Abbiamo già notato che in elettrostatica e in magnetostatica i potenziali non sono definiti univocamente
  - Il potenziale scalare è definito a meno di una costante
  - Il potenziale vettore è definito a meno del gradiente di un campo scalare
- In elettrodinamica le due non univocità devono essere trattate insieme

- Ricaviamo pertanto le condizioni di invarianza in elettrodinamica
  - Consideriamo una trasformazione (arbitraria) dei potenziali

$$\phi'(\mathbf{r},t) = \phi(\mathbf{r},t) + \beta(\mathbf{r},t)$$
  $\mathbf{A}'(\mathbf{r},t) = \mathbf{A}(\mathbf{r},t) + \alpha(\mathbf{r},t)$ 

- ullet Cerchiamo le condizioni su  $\alpha$  e eta in modo che il campo elettrico e il campo magnetico derivati dai potenziali non cambino
- Per il potenziale vettore è sufficiente che

$$oldsymbol{
abla} imes oldsymbol{lpha} = oldsymbol{0} \lambda \qquad \qquad \lambda \left( x,y,z,t \, 
ight) \quad \lambda$$
 funzione arbitraria

• Calcoliamo il campo elettrico prima e dopo la trasformazione

$$\mathbf{E} = -\nabla \phi - \frac{\partial \mathbf{A}}{\partial t} \qquad \mathbf{E}' = -\nabla \phi' - \frac{\partial \mathbf{A}'}{\partial t} = -\nabla \phi - \nabla \beta - \frac{\partial \mathbf{A}}{\partial t} - \frac{\partial \mathbf{A}}{\partial t}$$

ullet Perché il campo non vari  $(\mathbf{E}=\mathbf{E}')$  deve essere

$$oldsymbol{
abla}eta+rac{\partial oldsymbol{lpha}}{\partial t}=0$$
 eanche  $oldsymbol{
abla}eta+rac{\partial oldsymbol{
abla}\lambda}{\partial t}=0$   $oldsymbol{
abla}igg(eta+rac{\partial oldsymbol{\lambda}}{\partial t}igg)=0$ 

- Pertanto l'argomento del gradiente deve essere una funzione indipendente dalla posizione
  - In particolare possiamo scegliere

$$\beta + \frac{\partial \lambda}{\partial t} = 0 \qquad \beta = -\frac{\partial \lambda}{\partial t}$$

ullet Pertanto, per ogni funzione arbitraria  $\lambda(x,\,y,\,z,\,t)$  la seguente trasformazione sui potenziali lascia invariati i campi elettrico e magnetico

$$\phi 
ightarrow \phi - rac{\partial \lambda}{\partial t} \qquad {f A} 
ightarrow {f A} + {f 
abla} \lambda$$

- La trasformazione precedente prende il nome di trasformazione di gauge
- L'invarianza di gauge dei potenziali può essere utilizzata per semplificare le equazioni differenziali dei potenziali disaccoppiando le equazioni
  - Ricordiamo due dei gauge più utilizzati
    - Il gauge di Coulomb

$$\nabla \cdot \mathbf{A} = 0$$

- Il gauge di Coulomb è utile per mettere in evidenza la natura trasversale dell'onda elettromagnetica
- ullet Semplifica le equazioni disaccoppiandole nel caso di ho=0
- Ha lo svantaggio di non essere relativisticamente invariante
- Il gauge di Lorenz

$$\frac{1}{c^2} \frac{\partial \phi}{\partial t} + \mathbf{\nabla} \cdot \mathbf{A} = 0$$

- Il gauge di Lorenz è relativisticamente invariante
- Disaccoppia le due equazioni

- Dimostriamo che con una trasformazione di gauge possiamo sempre ottenere dei potenziali che soddisfano le due condizioni di gauge introdotte
  - Gauge di Coulomb
    - ullet Supponiamo che  $abla{\cdot}{
      m A}$  non sia nulla e che sia invece  $abla{\cdot}{
      m A}=f\!({
      m r})$
    - ullet Troviamo una  $\lambda({f r})$  (indipendente da t) che renda nulla  $abla \cdot {f A}'$

$$\mathbf{A}' = \mathbf{A} + \mathbf{\nabla} \lambda (\mathbf{r})$$
  $\mathbf{\nabla} \cdot \mathbf{A}' = \mathbf{\nabla} \cdot \mathbf{A} + \mathbf{\nabla}^2 \lambda (\mathbf{r}) = f(\mathbf{r}) + \mathbf{\nabla}^2 \lambda (\mathbf{r}) = 0$ 

ullet Otteniamo l'equazione che determina  $\lambda({f r})$  (equazione di Poisson)

$$\mathbf{\nabla}^2 \lambda \left( \mathbf{r} \right) = -f \left( \mathbf{r} \right)$$
  $\lambda \left( \mathbf{r} \right) = \frac{1}{4\pi} \int_V \frac{f \left( \mathbf{r}' \right)}{\left| \mathbf{r} - \mathbf{r}' \right|} dV'$ 

- ullet Ovviamente questa trasformazione non modifica né  $\phi$  né  ${
  m E}$
- Gauge di Lorenz

$$\frac{1}{c^2} \frac{\partial \phi}{\partial t} + \mathbf{\nabla} \cdot \mathbf{A} = f(\mathbf{r}, t)$$

• La trasformazione di gauge è

$$\phi' = \phi - \partial \lambda(\mathbf{r}, t) / \partial t$$
  $\mathbf{A}' = \mathbf{A} + \nabla \lambda(\mathbf{r}, t)$ 

• I nuovi potenziali devono soddisfare il gauge di Lorenz

$$0 = \frac{1}{c^2} \frac{\partial \phi'}{\partial t} + \boldsymbol{\nabla} \cdot \boldsymbol{A'} = \frac{1}{c^2} \frac{\partial \phi}{\partial t} - \frac{1}{c^2} \frac{\partial^2 \lambda}{\partial t^2} + \boldsymbol{\nabla} \cdot \boldsymbol{A} + \boldsymbol{\nabla}^2 \lambda$$

ullet Abbiamo assunto che i potenziali A e  $\phi$  non soddisfino il gauge di Lorenz

$$\frac{1}{c^2} \frac{\partial \phi}{\partial t} + \mathbf{\nabla} \cdot \mathbf{A} = f(\mathbf{r}, t)$$

• Pertanto l'equazione diventa

$$f(\mathbf{r},t) - \frac{1}{c^2} \frac{\partial^2 \lambda}{\partial t^2} + \nabla^2 \lambda = 0$$

$$\mathbf{\nabla}^2 \lambda - rac{1}{c^2} rac{\partial^2 \lambda}{\partial t^2} = -f(\mathbf{r}, t)$$

- Analogamente all'equazione di Poisson anche questa equazione ha una soluzione
  - La studieremo fra breve (vedi diapositiva 451)
- Per il momento è sufficiente sapere che la soluzione esiste e che pertanto è sempre possibile assumere che i potenziali soddisfino il gauge di Lorenz

### Esempio

• Un campo elettromagnetico, in un certo Gauge, ha i seguenti potenziali

$$\phi'(\mathbf{r},t) = 0$$
  $\mathbf{A}'(\mathbf{r},t) = -\frac{qt}{4\pi\varepsilon_0} \frac{\mathbf{r}}{r^2}$ 

ullet Calcoliamo il campo elettrico  ${f E}({f r},t)$  e il campo di induzione magnetica  ${f B}({f r},t)$ 

$$\mathbf{E} = -\nabla \phi' - \frac{\partial \mathbf{A}'}{\partial t} = \mathbf{0} - \frac{\partial}{\partial t} \frac{-qt}{4\pi\varepsilon_0} \frac{\hat{\mathbf{r}}}{r^2} = \frac{q}{4\pi\varepsilon_0} \frac{\hat{\mathbf{r}}}{r^2} \qquad \mathbf{B} = \nabla \times \left[ -\frac{qt}{4\pi\varepsilon_0} \frac{\hat{\mathbf{r}}}{r^2} \right] = \mathbf{0}$$

- ullet il campo di una carica puntiforme a riposo nonostante  $oldsymbol{\phi}=0$  e  $\mathbf{A} 
  eq \mathbf{0}$
- Naturalmente per il campo elettrostatico di una carica puntiforme conviene

$$\phi(\mathbf{r},t) = \frac{q}{4\pi\varepsilon_0} \frac{1}{r}$$
  $\mathbf{A}(\mathbf{r},t) = \mathbf{0}$ 

ullet Cerchiamo una trasformazione di  $\check{\mathsf{G}}$ auge per passare da  $\phi$  A a  $\phi'$  A'

$$\phi' = \phi - \frac{\partial \lambda}{\partial t} \longrightarrow 0 = \frac{q}{4\pi\varepsilon_0 r} - \frac{\partial \lambda}{\partial t} \qquad \lambda(\mathbf{r}, t) = \int \frac{q}{4\pi\varepsilon_0 r} dt + f(\mathbf{r}) = \frac{qt}{4\pi\varepsilon_0 r} + f(\mathbf{r})$$

$$\mathbf{A}' = \mathbf{A} + \boldsymbol{\nabla}\lambda \longrightarrow -\frac{qt}{4\pi\varepsilon_0}\frac{\hat{\mathbf{r}}}{r^2} = \mathbf{0} + \boldsymbol{\nabla}\bigg[\frac{qt}{4\pi\varepsilon_0}\frac{1}{r} + f(\mathbf{r})\bigg]$$

$$-\frac{qt}{4\pi\varepsilon_0}\frac{\hat{\mathbf{r}}}{r^2} = -\frac{qt}{4\pi\varepsilon_0}\frac{\hat{\mathbf{r}}}{r^2} + \boldsymbol{\nabla}f(\mathbf{r}) \longrightarrow \boldsymbol{\nabla}f(\mathbf{r}) = 0 \quad f(\mathbf{r}) = 0 \quad \lambda(\mathbf{r},t) = \frac{qt}{4\pi\varepsilon_0r}$$

### Esempio

 $\bullet$  Alternativamente possiamo utilizzare la procedura della diapositiva  $\underline{\textbf{445}}$  per rendere nulla la divergenza di  $A^\prime$ 

$$\lambda(\mathbf{r}) = \frac{1}{4\pi} \int_{V} \frac{f(\mathbf{r}')}{|\mathbf{r} - \mathbf{r}'|} dV'$$

• Calcoliamo la funzione  $f(\mathbf{r})$ 

$$f(\mathbf{r}) = \mathbf{\nabla} \cdot \mathbf{A}'(\mathbf{r}, t) = -\frac{qt}{4\pi\varepsilon_0} \mathbf{\nabla} \cdot \frac{\hat{\mathbf{r}}}{r^2} = -\frac{qt}{4\pi\varepsilon_0} 4\pi\delta^3(\mathbf{r}) = -\frac{qt}{\varepsilon_0} \delta^3(\mathbf{r}) = f(\mathbf{r})$$

ullet Calcoliamo  $\lambda(\mathbf{r})$ 

$$\lambda\left(\mathbf{r}\right) = \frac{1}{4\pi} \int_{V} \frac{f\left(\mathbf{r}'\right)}{\left|\mathbf{r} - \mathbf{r}'\right|} dV' = \frac{1}{4\pi} \int_{V} -\frac{qt}{\varepsilon_{0}} \frac{\delta\left(\mathbf{r}'\right)}{\left|\mathbf{r} - \mathbf{r}'\right|} dV' = -\frac{1}{4\pi} \frac{qt}{\varepsilon_{0}} \frac{1}{\left|\mathbf{r}\right|} = -\frac{qt}{4\pi\varepsilon_{0}} \frac{1}{r}$$

• Trasformiamo i potenziali

$$\phi(\mathbf{r},t) = \phi' - \frac{\partial \lambda}{\partial t} = 0 - \frac{\partial}{\partial t} \left( -\frac{qt}{4\pi\varepsilon_0} \frac{1}{r} \right) = \frac{q}{4\pi\varepsilon_0} \frac{1}{r}$$

$$\mathbf{A}(\mathbf{r},t) = \mathbf{A}'(\mathbf{r},t) + \nabla \lambda(\mathbf{r},t) = -\frac{qt}{4\pi\varepsilon_0} \frac{\hat{\mathbf{r}}}{r^2} + \nabla \left( -\frac{qt}{4\pi\varepsilon_0} \frac{1}{r} \right)$$

$$\mathbf{A}(\mathbf{r},t) = -\frac{qt}{4\pi\varepsilon_0} \frac{\hat{\mathbf{r}}}{r^2} + \frac{qt}{4\pi\varepsilon_0} \frac{\hat{\mathbf{r}}}{r^2} = 0$$

# Equazioni per i potenziali

- ullet In pratica non è quasi mai necessario calcolare la funzione  $\lambda(x,y,z,t)$ 
  - Sapendo che è possibile trovarle si può assumere che la condizione di Lorenz o di Coulomb sia rispettata e si risolvono le equazioni dei potenziali
- Vediamo l'espressione delle equazioni dei potenziali nel gauge di Lorenz

$$\mathbf{\nabla}^2 \phi + \frac{\partial \mathbf{\nabla} \cdot \mathbf{A}}{\partial t} = -\frac{\rho}{\varepsilon_0}$$

ullet Poiché  $\mathbf{A}$  e  $\phi$  soddisfano il gauge di Lorenz

$$\mathbf{
abla}\cdot\mathbf{A}=-rac{1}{c^2}rac{\partial\phi}{\partial t}$$

ullet Sostituendo nell'equazione di  $\phi$ 

$$\mathbf{\nabla}^2 \phi - \frac{1}{c^2} \frac{\partial^2 \phi}{\partial t^2} = -\frac{\rho}{\varepsilon_0}$$

Equazione dell'onda non omogenea

# Equazioni per i potenziali

Consideriamo adesso l'equazione per il potenziale vettore

$$\mathbf{\nabla}^{2}\mathbf{A} - \frac{1}{c^{2}}\frac{\partial^{2}\mathbf{A}}{\partial t^{2}} - \mathbf{\nabla}\left(\frac{1}{c^{2}}\frac{\partial\phi}{\partial t}\right) \mathbf{\nabla}\cdot\mathbf{A} = -\mu_{0}\mathbf{J}$$

ullet Poiché  ${f A}$  e  $\phi$  soddisfano il gauge di Lorenz

$$\left| \mathbf{\nabla}^2 \mathbf{A} - \frac{1}{c^2} \frac{\partial^2 \mathbf{A}}{\partial t^2} = -\mu_0 \mathbf{J} \right| \qquad \left| \mathbf{\nabla}^2 \phi - \frac{1}{c^2} \frac{\partial^2 \phi}{\partial t^2} = -\frac{\rho}{\varepsilon_0} \right|$$

$$oxed{
abla^2 \phi - rac{1}{c^2} rac{\partial^2 \phi}{\partial t^2} = -rac{
ho}{arepsilon_0}}$$

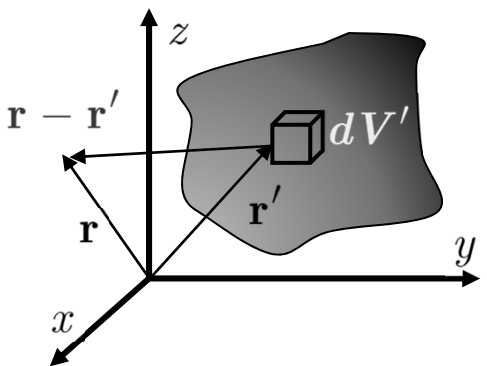
- Anche il potenziale vettore soddisfa l'equazione dell'onda inomogenea
- Nel caso statico ritroviamo le equazioni dell'elettrostatica e della magnetostatica

$$\mathbf{
abla}^2\mathbf{A}=-\mu_0\mathbf{J}$$
  $\mathbf{
abla}^2\phi=-rac{
ho}{arepsilon}$ 

- Nei casi statico e stazionario conosciamo le soluzioni
  - Richiedendo che i campi si annullino all'infinito ...

$$\phi\left(\mathbf{r}\right) = rac{1}{4\piarepsilon_{0}} \int_{V} rac{
ho\left(\mathbf{r}'
ight)}{\left|\mathbf{r}-\mathbf{r}'
ight|} dV'$$

$$\mathbf{A}(\mathbf{r}) = \frac{\mu_0}{4\pi} \int_{V} \frac{\mathbf{J}(\mathbf{r}')}{|\mathbf{r} - \mathbf{r}'|} dV'$$



#### Potenziali ritardati

- Nel caso dipendente dal tempo la soluzione è, almeno formalmente, molto semplice
  - ullet Le cariche contenute nel volume  $d\,V'$  sono in movimento

$$\rho\left(\mathbf{r}',t\right)$$
  $\mathbf{J}\left(\mathbf{r}',t\right)$ 

- ullet Tuttavia gli effetti elettromagnetici propagano con velocità c
  - Il potenziale  $\phi({\bf r},t)$  può ricevere contributi solo dal valore assunto da  $\rho$  e J ad un tempo precedente  $t_r$
- Si può dimostrare (forse lo faremo) che le soluzioni sono

$$t_r = t - \frac{\left|\mathbf{r} - \mathbf{r}'\right|}{c}$$

$$\phi\left(\mathbf{r},t\right) = \frac{1}{4\pi\varepsilon_{0}} \int_{V} \frac{\rho\left(\mathbf{r}',t_{r}\right)}{\left|\mathbf{r}-\mathbf{r}'\right|} dV' \qquad \mathbf{A}\left(\mathbf{r},t\right) = \frac{\mu_{0}}{4\pi} \int_{V} \frac{\mathbf{J}\left(\mathbf{r}',t_{r}\right)}{\left|\mathbf{r}-\mathbf{r}'\right|} dV'$$

- ullet Durante l'integrazione la variabile ausiliaria  $t_r$  varia con  $\mathbf{r'}$ 
  - Un utile esercizio (non banale) è verificare che queste soluzioni soddisfino l'equazione inomogenea della diapositiva precedente
  - ullet In tal caso occorre ricordarsi che i potenziali dipendono da  ${f r}$ 
    - ullet In modo esplicito attraverso  $|{f r}-{f r'}|$
    - ullet In modo implicito attraverso  $t_r=t-|{f r}-{f r}'|/{f c}$

#### Potenziali ritardati

- Nonostante queste soluzioni siano "intuitive" la loro semplicità (apparente) va considerata in qualche modo fortuita
  - ullet Ad esempio le stesse formule intuitive non valgono per E e B

$$\mathbf{E}\left(\mathbf{r},t\right)\neq\frac{1}{4\pi\varepsilon_{0}}\int_{V}\frac{\rho\left(\mathbf{r}',t_{r}\right)\left(\mathbf{r}-\mathbf{r}'\right)}{\left|\mathbf{r}-\mathbf{r}'\right|^{3}}dV'$$

$$\mathbf{B}\left(\mathbf{r},t\right)\neq\frac{1}{4\pi\varepsilon_{0}}\int_{V}\frac{\mathbf{J}\left(\mathbf{r}',t_{r}\right)\times\left(\mathbf{r}-\mathbf{r}'\right)}{\left|\mathbf{r}-\mathbf{r}'\right|^{3}}dV'$$

- ullet Le formule corrette si possono ricavare da  $\phi$  e A
  - Il calcolo tuttavia è un po' laborioso. Diamo il risultato (v. Griffiths)

$$\mathbf{E}(\mathbf{r},t) = \frac{1}{4\pi\varepsilon_0} \int_{V} \left[ \frac{\rho(\mathbf{r}',t_r)(\mathbf{r}-\mathbf{r}')}{|\mathbf{r}-\mathbf{r}'|^3} + \frac{\dot{\rho}(\mathbf{r}',t_r)(\mathbf{r}-\mathbf{r}')}{c|\mathbf{r}-\mathbf{r}'|^2} - \frac{\dot{\mathbf{J}}(\mathbf{r}',t_r)}{c^2|\mathbf{r}-\mathbf{r}'|} \right] dV'$$

$$\mathbf{B}(\mathbf{r},t) = \frac{\mu_0}{4\pi} \int_{V} \left[ \frac{\mathbf{J}(\mathbf{r}',t_r)}{|\mathbf{r}-\mathbf{r}'|^3} + \frac{\dot{\mathbf{J}}(\mathbf{r}',t_r)}{c|\mathbf{r}-\mathbf{r}'|^2} \right] \times (\mathbf{r}-\mathbf{r}') dV'$$

- ullet Ovviamente per r e J indipendenti dal tempo ritroviamo le formule dell'elettrostatica e della magnetostatica
- † Vedi anche A. Zangwill Modern electrodynamics CUP 2012 applicazione 20.2p. 726

# Approssimazione quasi-statica per B

• Esaminiamo la formula che abbiamo appena scritto per B

$$\mathbf{B}(\mathbf{r},t) = \frac{\mu_0}{4\pi} \int_{V}^{\infty} \left[ \frac{\mathbf{J}(\mathbf{r}',t_r)}{\left|\mathbf{r} - \mathbf{r}'\right|^3} + \frac{\dot{\mathbf{J}}(\mathbf{r}',t_r)}{c\left|\mathbf{r} - \mathbf{r}'\right|^2} \right] \times (\mathbf{r} - \mathbf{r}') dV' \qquad t_r = t - \frac{\left|\mathbf{r} - \mathbf{r}'\right|}{c}$$

ullet Semplifichiamo la notazione ponendo  ${f u}={f r}-{f r}'$ 

$$\mathbf{B}(\mathbf{r},t) = \frac{\mu_0}{4\pi} \int_{V} \left[ \frac{\mathbf{J}(\mathbf{r}',t_r)}{u^2} + \frac{\dot{\mathbf{J}}(\mathbf{r}',t_r)}{cu} \right] \times \hat{\mathbf{u}} dV' \qquad t_r - t = -\frac{u}{c}$$

- ullet Consideriamo una densità di corrente  ${f J}({f r},t)$  le cui variazioni temporali abbiano una scala di tempi fissata da un parametro au

• Il parametro 
$$au$$
 potrebbe essere definito come  $au\sim \left|rac{J(\mathbf{r},t)}{\dot{J}(\mathbf{r},t)}
ight|$  • Si può dimostrare (v. diapositive swguenti) che per  $|\mathbf{t}-\mathbf{t}_r|\ll au$   $\left|\frac{J(\mathbf{r},t)}{\dot{J}(\mathbf{r},t)}\right|$   $\mathbf{J}(\mathbf{r},t_r)\approx \mathbf{J}(\mathbf{r},t)+\dot{\mathbf{J}}(\mathbf{r},t)(t_r-t)$   $\dot{\mathbf{J}}(\mathbf{r},t_r)\approx \dot{\mathbf{J}}(\mathbf{r},t)$ 

$$ullet$$
 Si può dimostrare (v. diapositive swguenti) che per  $|t-t_r|\ll au$ 

$$\mathbf{J}(\mathbf{r},t_r) pprox \mathbf{J}(\mathbf{r},t) + \dot{\mathbf{J}}(\mathbf{r},t)(t_r-t) \qquad \dot{\mathbf{J}}(\mathbf{r},t_r) pprox \dot{\mathbf{J}}(\mathbf{r},t)$$

Sostituendo

$$\mathbf{B}(\mathbf{r},t) = \frac{\mu_0}{4\pi} \int_{V}^{\bullet} \left[ \frac{\mathbf{J}(\mathbf{r}',t) - \dot{\mathbf{J}}(\mathbf{r}',t)(t-t_r)}{u^2} + \frac{\dot{\mathbf{J}}(\mathbf{r}',t)}{cu} \right] \times \hat{\mathbf{u}} dV'$$

$$=\frac{\mu_0}{4\pi} \int_{V} \left[ \frac{\mathbf{J}(t)}{u^2} - \frac{\dot{\mathbf{J}}(t)(t-t_r)}{uc(t-t_r)} + \frac{\dot{\mathbf{J}}(t)}{cu} \right] \times \hat{\mathbf{u}} dV' \quad \mathbf{B}(\mathbf{r},t) = \frac{\mu_0}{4\pi} \int_{V} \frac{\mathbf{J}(\mathbf{r}',t)}{u^2} \times \hat{\mathbf{u}} dV'$$

$$\mathbf{B}(\mathbf{r},t) = \frac{\mu_0}{4\pi} \int_{V} \frac{\mathbf{J}(\mathbf{r}',t)}{u^2} \times \hat{\mathbf{u}} dV'$$

## Approssimazione quasi-statica per B

- ullet Ricordiamo  $\mathbf{u}=\mathbf{r}-\mathbf{r}'$   $t_r-t=-rac{u}{c}$   $\left|t_r-t
  ight|\ll au$   $au\sim\left|rac{J(t)}{\dot{J}(t)}
  ight|$ 
  - Sviluppiamo al primo ordine la densità di corrente

$$\mathbf{J}(t_r) pprox \mathbf{J}(t) + \dot{\mathbf{J}}(t)(t_r - t)$$

- ullet Dimostriamo che nelle condizioni dell'approssimazione  $\dot{\mathbf{J}}(\mathbf{r},t_r)pprox\dot{\mathbf{J}}(\mathbf{r},t)$ 
  - ullet Sviluppiamo  $\dot{\mathbf{J}}(t_{_{r}})$  intorno a t

$$\dot{\mathbf{J}}(t_{r})pprox\dot{\mathbf{J}}(t)+\ddot{\mathbf{J}}(t)(t_{r}-t)$$

- ullet Dato che l'ordine di grandezza del tempo di variazione di  ${
  m J}(t)$  è au abbiamo

$$egin{align*} \dot{\mathbf{J}}(t) pprox \dfrac{\dot{\mathbf{J}}(t)}{ au} & \Longrightarrow \ddot{\mathbf{J}}(t) pprox \dfrac{\dot{\mathbf{J}}(t)}{ au} \ \dot{\mathbf{J}}(t_r) pprox \dot{\mathbf{J}}(t) + \ddot{\mathbf{J}}(t)(t_r-t) pprox \dot{\mathbf{J}}(t) + \dfrac{\dot{\mathbf{J}}(t)}{ au}(t_r-t) & \dfrac{\left|t-t_r
ight|}{ au} \ll 1 \ \ddot{\mathbf{J}}(t_r) pprox \dot{\mathbf{J}}(t_r) & = \ddot{\mathbf{J}}(t_r) \end{aligned}$$

• La legge di Biot-Savart è pertanto una ottima approssimazione per

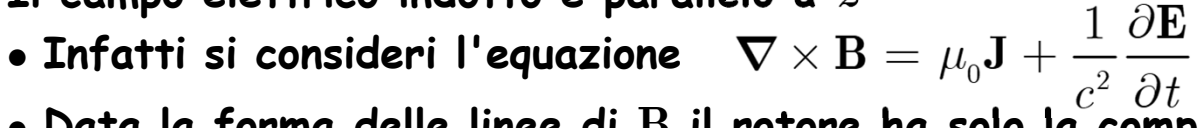
$$t-t_{_{\! r}}\ll\tau\quad \text{Inoltre dalla definizione}\quad t_{_{\! r}}=t-\frac{\left|\mathbf{r}-\mathbf{r}'\right|}{c}\quad \Longrightarrow\quad \left|\mathbf{r}-\mathbf{r}'\right|\ll c\tau$$

# Approssimazione quasi-statica

大大大

 $\mathbf{B} = \frac{\mu_0}{2\pi m} i(t) \hat{\mathbf{e}}_{\phi}$ 

- Vediamo un'applicazione di questi concetti (Griffiths esempio 7.9)
  - ullet Un filo infinitamente lungo parallelo all'asse z, percorso da una corrente i(t)
  - ullet Calcolare il campo elettrico indotto in funzione della distanza r dal filo
  - Il problema ha una simmetria cilindrica
    - ullet Le linee del campo B sono circonferenze
    - ullet I campi non dipendono da  $\phi$  o z
  - ullet Il campo elettrico indotto è parallelo a z





- ullet Anche la densità di corrente è lungo z
- ullet Segue che il campo  ${f E}$  è diretto lungo z



$$\oint_{\Gamma} \mathbf{E} \cdot d\mathbf{l} = -\frac{d}{dt} \int_{S} \mathbf{B} \cdot d\mathbf{a} \int_{S} \mathbf{B} \cdot d\mathbf{a} = \frac{\mu_{0}}{2\pi} i(t) l \int_{r_{0}}^{r} \frac{dr}{r} = \frac{\mu_{0}}{2\pi} i(t) l \ln \frac{r}{r_{0}}$$

$$\oint_{\Gamma} \mathbf{E} \cdot d\mathbf{l} = E(r_{0}) l - E(r) l \quad \mathbf{E} = \left[ \frac{\mu_{0}}{2\pi} \frac{di}{dt} \ln \frac{r}{r_{0}} + E(r_{0}) \right] \hat{\mathbf{e}}_{z}$$

- ullet La formula predice che  ${
  m E}$  diverge per  $r o\infty$ 
  - ullet L'approssimazione quasi-statica usata vale solo per  $\left| {{f r} {f r}'} 
    ight| \ll c au$

# Onda piana nel gauge di Coulomb

\*\*\*

- Vogliamo adesso una prima soluzione delle equazioni dei potenziali
  - ullet Nel gauge di Coulomb:  $abla{\cdot}{\cdot}{
    m A}=0$
  - Nel caso in cui le sorgenti siano nulle
- Ricordiamo le equazioni dei potenziali (vedi diapositiva 421)

$$\mathbf{\nabla}^2 \phi + \frac{\partial \mathbf{\nabla} \cdot \mathbf{A}}{\partial t} = -\frac{\rho}{\varepsilon_0} \qquad \mathbf{\nabla}^2 \mathbf{A} - \frac{1}{c^2} \frac{\partial^2 \mathbf{A}}{\partial t^2} - \mathbf{\nabla} \left( \frac{1}{c^2} \frac{\partial \phi}{\partial t} + \mathbf{\nabla} \cdot \mathbf{A} \right) = -\mu_0 \mathbf{J}$$

• Consideriamo la prima equazione e imponiamo il gauge di Coulomb

$$oldsymbol{
abla}^2 \phi + rac{\partial oldsymbol{
abla} \cdot oldsymbol{A}}{\partial t} = -rac{
ho}{arepsilon_0} \qquad \qquad oldsymbol{
abla}^2 \phi = -rac{
ho}{arepsilon_0}$$

- ullet l'equazione di Poisson. Tuttavia in generale ho è funzione del tempo
- $\bullet$  La soluzione è  $\phi\!\left(\mathbf{r},t\right) = \frac{1}{4\pi\varepsilon_0} \int_V \frac{\rho\!\left(\mathbf{r}',t\right)}{\left|\mathbf{r}-\mathbf{r}'\right|} dV'$ 
  - ullet Sottolineiamo che la densità è calcolata al tempo  $t_r$  non al tempo  $t_r$
  - Sembrerebbe un paradosso ma non lo è
  - ullet Il campo elettrico non dipende solo da  $\phi$ , ma anche da  ${
    m A}$
  - ullet I contributi di  $\phi$  e A introducono la dipendenza dal tempo ritardato

$$\phi(\mathbf{r},t) = \frac{1}{4\pi\varepsilon_0} \int_{V} \frac{\rho(\mathbf{r}',t)}{|\mathbf{r} - \mathbf{r}'|} dV'$$

- Vogliamo studiare la propagazione nel vuoto, in assenza di sorgenti
  - ullet Se ho=0 allora  $\phi=0$
- Consideriamo adesso l'equazione per il potenziale vettore

$$oldsymbol{
abla}^2 \mathbf{A} - rac{1}{c^2} rac{\partial^2 \mathbf{A}}{\partial t^2} - oldsymbol{
abla} iggl( rac{1}{c^2} rac{\partial \phi}{\partial t} + oldsymbol{
abla} \cdot \mathbf{A} iggr) = -\mu_0 \mathbf{J}$$

ullet Poiché  $\phi=0$ ,  $abla{\cdot}{\cdot}{A}=0$ , J(r,t)=0 abbiamo

$$\mathbf{
abla}^2\mathbf{A}=rac{1}{c^2}rac{\partial^2\mathbf{A}}{\partial t^2}$$

Equazione dell'onda omogenea

- ullet Abbiamo studiato le soluzione per i campi E e B
  - In particolare le onde piane

$$\mathbf{A}(\mathbf{r},t) = \tilde{\mathbf{A}}_{\mathbf{0}} e^{-i(\mathbf{k}\cdot\mathbf{r} - \omega t)}$$

- ullet  $\mathbf{A}_0$  è un vettore, in generale complesso
- ullet La soluzione fisica è la parte reale di  $\mathbf{A}(\mathbf{r,t})$

- Vediamo la condizione di trasversalità dell'onda
  - Deve essere

$$\mathbf{A}(\mathbf{r},t) = \tilde{\mathbf{A}}_{\mathbf{0}} e^{-i(\mathbf{k}\cdot\mathbf{r} - \omega t)}$$

$$\nabla \cdot \mathbf{A} = \frac{\partial A_x}{\partial x} + \frac{\partial A_y}{\partial y} + \frac{\partial A_z}{\partial z} = i \left( \tilde{A}_{0x} k_x + \tilde{A}_{0y} k_y + \tilde{A}_{0z} k_z \right) e^{-i(\mathbf{k} \cdot \mathbf{r} - \omega t)} = 0$$

- ullet Pertanto abbiamo la condizione di trasversalità  ${f k}\cdot ilde{{f A}}_{\scriptscriptstyle \Omega}=0$ 
  - ullet Pertanto  ${f A}_0$  deve essere perpendicolare alla direzione di propagazione
- Il campo elettrico si trova semplicemente

$$\mathbf{E} = -\frac{\partial \mathbf{A}}{\partial t} = -i\omega \tilde{\mathbf{A}}_{\mathbf{0}} e^{-i(\mathbf{k}\cdot\mathbf{r}-\omega t)} \equiv \tilde{\mathbf{E}}_{\mathbf{0}} e^{-i(\mathbf{k}\cdot\mathbf{r}-\omega t)} \qquad \tilde{\mathbf{E}}_{\mathbf{0}} = -i\omega \tilde{\mathbf{A}}_{\mathbf{0}}$$

• Per trovare il campo magnetico ricordiamo la forma che acquista l'operatore  $\nabla$  per un'onda piana:  $\mathbf{k}\cdot\mathbf{r}=k\zeta$  (vedi diapositiva 386)  $\nabla=\hat{\mathbf{k}}\frac{\partial}{\partial\zeta}$ 

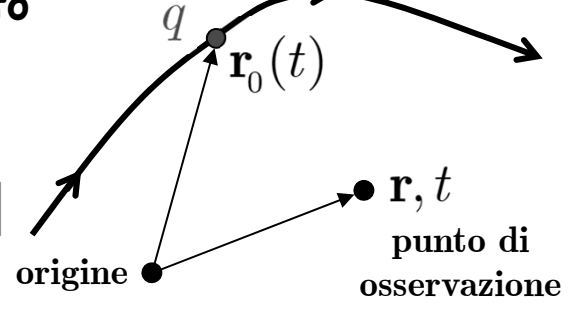
$$\mathbf{B}(\mathbf{r},t) = \mathbf{\nabla} \times \mathbf{A} = -ik\hat{\mathbf{k}} \times \tilde{\mathbf{A}}_0 e^{-i(\mathbf{k}\cdot\mathbf{r} - i\omega t)} = -i\frac{\omega}{c}\hat{\mathbf{k}} \times \tilde{\mathbf{A}}_0 e^{-i(\mathbf{k}\cdot\mathbf{r} - i\omega t)}$$

$$\mathbf{B}(\mathbf{r},t) = \frac{1}{c}\hat{\mathbf{k}} \times \tilde{\mathbf{E}}_0 e^{-i(\mathbf{k}\cdot\mathbf{r} - i\omega t)}$$

- ullet Consideriamo una carica q in movimento arbitrario dato
  - Conosciamo la traiettoria  ${\bf r}_0(t)$
  - La densità di carica e la densità corrente sono

$$\rho(\mathbf{r},t) = q\delta[\mathbf{r} - \mathbf{r}_0(t)] \quad \mathbf{J}(\mathbf{r},t) = q\mathbf{v}(t)\delta^3[\mathbf{r} - \mathbf{r}_0(t)]$$





 $t_{r} = t - \frac{\left|\mathbf{r} - \mathbf{r}'\right|}{r}$ 

$$\phi(\mathbf{r},t) = \frac{1}{4\pi\varepsilon_0} \int_V \frac{\rho(\mathbf{r}',t_{\rm r})}{|\mathbf{r}-\mathbf{r}'|} d^3\mathbf{r}' \qquad \mathbf{A}(\mathbf{r},t) = \frac{\mu_0}{4\pi} \int_V \frac{\mathbf{J}(\mathbf{r}',t_{\rm r})}{|\mathbf{r}-\mathbf{r}'|} d^3\mathbf{r}'$$

- ullet Calcoliamo dapprima il potenziale  $\phi({f r},t)$ 
  - Il calcolo del potenziale A è analogo
- ullet La complicazione del calcolo è nascosta in  $t_{
  m r}$
- Il calcolo risulta più semplice se si scrive la densità di carica come

$$ho(\mathbf{r}',t_{_{\mathrm{r}}})=\int_{-\infty}^{+\infty}
ho(\mathbf{r}',t')\delta(t'-t+rac{\left|\mathbf{r}-\mathbf{r}'
ight|}{c})dt'$$

$$\phi(\mathbf{r},t) = \frac{1}{4\pi\varepsilon_0} \int_V \frac{\rho(\mathbf{r}',t_{\rm r})}{|\mathbf{r}-\mathbf{r}'|} d^3\mathbf{r}' \qquad \rho(\mathbf{r},t) = q\delta^3[\mathbf{r}-\mathbf{r}_0(t)]$$

- ullet Abbiamo visto che  $ho({f r}',t_r)=\int_{-\infty}^{+\infty}
  ho({f r}',t')\delta(t'-t+rac{\left|{f r}-{f r}'
  ight|}{c})dt'$
- Otteniamo pertanto

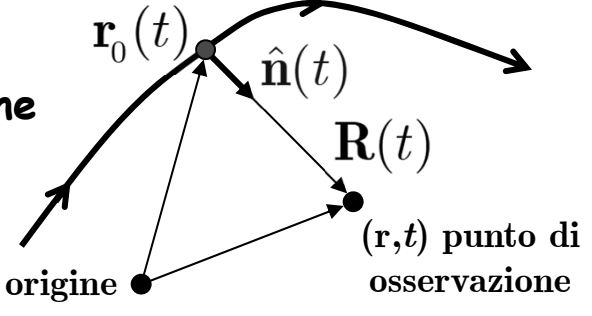
$$\phi(\mathbf{r},t) = \frac{1}{4\pi\varepsilon_0} \int_{V} \int_{-\infty}^{+\infty} \frac{q\delta^3[\mathbf{r}' - \mathbf{r}_0(t')]}{|\mathbf{r} - \mathbf{r}'|} \delta(t' - t + \frac{|\mathbf{r} - \mathbf{r}'|}{c}) dt' d^3\mathbf{r}'$$

• La presenza della funzione  $\delta^3[\mathbf{r}'-\mathbf{r}_0(t)]$  rende immediato l'integrale in  $d^3\mathbf{r}'$ 

$$\phi(\mathbf{r},t) = \frac{1}{4\pi\varepsilon_0} \int_{-\infty}^{+\infty} \frac{q}{|\mathbf{r} - \mathbf{r}_0(t')|} \delta(t' - t + \frac{|\mathbf{r} - \mathbf{r}_0(t')|}{c}) dt'$$

- Definiamo  $\mathbf{R}(t) = \mathbf{r} \mathbf{r}_{\!\scriptscriptstyle 0}(t) \equiv R(t) \hat{\mathbf{n}}(t)$ 
  - Il versore  $\hat{\mathbf{n}}(t)$  punta dalla posizione della carica al tempo t alla posizione  $\mathbf{r}$  del punto di osservazione

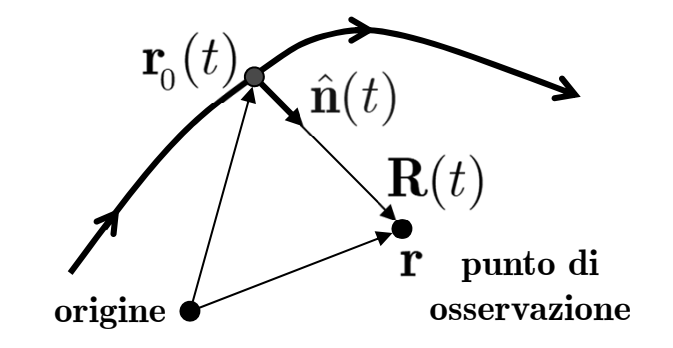
$$\phi(\mathbf{r},t) = \frac{q}{4\pi\varepsilon_0} \int_{-\infty}^{+\infty} \frac{1}{R(t')} \delta(t'-t + \frac{R(t')}{c}) dt'$$



$$\phi(\mathbf{r},t) = \frac{q}{4\pi\varepsilon_0} \int_{-\infty}^{+\infty} \frac{1}{R(t')} \delta(t'-t + \frac{R(t')}{c}) dt'$$

- ullet Elaboriamo la funzione  $\delta$ 
  - Ricordiamo che

$$\delta[f(x)] = \sum_{i} \frac{\delta(x - x_i)}{|f'(x_i)|} \quad f(x_i) = 0$$



$$\mathbf{R}(t) = \mathbf{r} - \mathbf{r}_0(t) = R(t)\hat{\mathbf{n}}(t)$$

Abbiamo

$$f(t') = t' - t + \frac{R(t')}{c} \qquad f(t_{\rm r}) = 0 \qquad \begin{array}{l} \text{per definizione} \\ t_{\rm r} \text{ è definito} \\ \text{dall'equazione} \end{array} \qquad t_{\rm r} = t - \frac{R(t_{\rm r})}{c}$$

$$t_{
m r} = t - rac{R(t_{
m r})}{c}$$

$$f'(t') = 1 + \frac{1}{c} \frac{dR(t')}{dt'}$$
  $R(t') = \sqrt{\mathbf{R}(t') \cdot \mathbf{R}(t')}$ 

$$\mathbf{v} = \frac{d\mathbf{r}_0}{dt} = -\frac{d\mathbf{R}}{dt}$$

$$\frac{dR(t')}{dt'} = \frac{1}{2} \frac{1}{\sqrt{\mathbf{R}(t') \cdot \mathbf{R}(t')}} \left( \frac{d\mathbf{R}}{dt'} \cdot \mathbf{R} + \mathbf{R} \cdot \frac{d\mathbf{R}}{dt'} \right) = \frac{1}{R(t')} \frac{d\mathbf{R}}{dt'} \cdot \mathbf{R} = -\mathbf{v}(t') \cdot \hat{\mathbf{n}}(t')$$

$$f'(t') = 1 - \beta(t') \cdot \hat{\mathbf{n}}(t') > 0$$

$$\delta(t' - t + \frac{R(t')}{c}) = \frac{\delta(t' - t_{r})}{1 - \beta(t_{r}) \cdot \hat{\mathbf{n}}(t_{r})}$$

$$\delta(t' - t + \frac{R(t')}{c}) = \frac{\delta(t' - t_{r})}{1 - \beta(t_{r}) \cdot \hat{\mathbf{n}}(t_{r})} = \frac{\delta(t' - t_{r})}{g(t_{r})} \qquad g(t) = 1 - \beta(t) \cdot \hat{\mathbf{n}}(t)$$

- Inseriamo il risultato nella formula del potenziale ritardato
  - Abbiamo

$$\begin{split} \phi\left(\mathbf{r},t\right) &= \frac{q}{4\pi\varepsilon_{0}} \int_{-\infty}^{+\infty} \frac{1}{R(t')} \delta(t'-t+\frac{R(t')}{c}) dt' \\ &= \frac{q}{4\pi\varepsilon_{0}} \int_{-\infty}^{+\infty} \frac{1}{g(t')R(t')} \delta(t'-t_{r}) dt' = \frac{q}{4\pi\varepsilon_{0}} \frac{1}{R(t_{r})(1-\boldsymbol{\beta}(t_{r})\cdot\hat{\mathbf{n}}(t_{r}))} \\ \hline \phi(\mathbf{r},t) &= \frac{q}{4\pi\varepsilon_{0}} \frac{1}{\left|\mathbf{r}-\mathbf{r}_{0}(t_{r})\right|} \frac{1}{1-\boldsymbol{\beta}(t_{r})\cdot\hat{\mathbf{n}}(t_{r})} \end{split}$$

ullet E analogamente per  ${f A}({f r},t)$ 

$$\mathbf{A}(\mathbf{r},t) = \frac{q\mathbf{v}(t_{r})}{4\pi\varepsilon_{0}} \frac{1}{\left|\mathbf{r} - \mathbf{r}_{0}(t_{r})\right|} \frac{1}{1 - \boldsymbol{\beta}(t_{r}) \cdot \hat{\mathbf{n}}(t_{r})}$$

- $\bullet$  Per comprendere meglio il significato del fattore  $1-\boldsymbol{\beta}\cdot\hat{\mathbf{n}}$  consideriamo il seguente problema
  - ullet Una barra si muove da sinistra verso destra con velocità v=0.8 c



- ullet Una macchina fotografica riprende l'immagine quando l'estremità sinistra della barra passa per la posizione x=0 di un metro
  - La fotografia mostra che l'estremità destra della barra coincide con la lettura  $L'=0.9~\mathrm{m}$  del metro.
  - Metro e macchina fotografica sono a riposo. Quanto è lunga la barra ?
- ullet Chiamiamo L la lunghezza reale della barra e L' la lunghezza apparente
- La luce che segnala che l'estremità destra della barra è nella posizione  $L'=0.9~\mathrm{m}$  deve partire prima della luce che segnala la posizione 0.
  - Poiché la luce deve percorrere L' sarà partita  $\Delta t$  secondi prima  $\Delta t = \frac{L'}{c}$





ullet Nel tempo che la luce impiega per raggiungere l'obbiettivo la barra (in particolare l'estremità di destra) si sposta verso destra di  $\Delta x$ 

$$\Delta x = v \Delta t$$

- La lunghezza della barra è pertanto la somma di due termini
  - ullet Della lunghezza apparente misurata dalla macchina fotografica: L'
  - Dello spazio percorso dalla barra nell'intervallo di tempo che la luce emessa a  $L'=0.9~{
    m m}$  impiega per raggiungere l'obbiettivo:  $v\Delta\,t$

$$L = L' + v\Delta t = L' + v\frac{L'}{c} = L'(1+\beta)$$

ullet La relazione fra lunghezza reale L e lunghezza apparente L' è pertanto

$$L' = \frac{L}{1+\beta}$$
  $L = 0.9 \cdot (1+0.8) = 1.62 \,\mathrm{m}$ 

- Sottolineiamo che non si tratta della contrazione di Lorentz
  - È simile all'effetto Doppler

- ullet Se la barra si muove in direzione opposta il fattore diventa 1-eta
  - ullet Infatti in questo caso la lunghezza apparente L' è maggiore

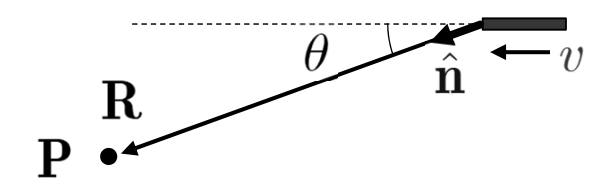


$$L' = \frac{L}{1 - \beta}$$

- ullet In questo caso una barra lunga  $L=0.18~\mathrm{m}$  viene fotografata come una barra lunga  $L'=0.9~\mathrm{m}$
- In entrambi i casi trattati la velocità della sorgente e il vettore dalla sorgente al punto di osservazione sono paralleli o antiparalleli

$$\mathbf{P} \bullet \overset{\hat{\mathbf{R}}}{\longleftarrow} v$$

• Se il vettore R e la velocità v non sono paralleli (o antiparalleli) le derivazioni precedenti sono ancora valide a condizione di usare le proiezioni delle lunghezze nella direzione di v:  $L\cos\theta$ ,  $L'\cos\theta$ 



ullet Il fattore diventa pertanto  $1-oldsymbol{eta}\cdot\hat{\mathbf{n}}$ 

- ullet Sottolineiamo ulteriormente le analogie con l'effetto ullet ppler $_C$ 
  - ullet Un veicolo si muove con velocità v
  - ullet Emette particelle (proiettili) con frequenza  $n_a$





- ullet I proiettili si muovono con velocità c
- ullet I proiettili colpiscono un bersaglio con freguenza  $n_*$
- Per semplicità supponiamo che le particelle vengano emesse uniformemente
  - ullet Una particella viene emessa al tempo  $t_{
    m o}$ 
    - ullet Supponendo sia stata emessa ad una distanza L dal bersaglio lo raggiungerà al tempo  $t_1 = t_0 + L/c$
  - ullet La successiva particella è emessa al tempo  $t_0+1/n_a$
  - ullet È stata emessa ad un una distanza  $L-v/n_a$
  - ullet Raggiunge il bersaglio al tempo  $t_2 = t_0 + 1/n_q + (L v/n_q)/c$
- ullet La frequenza  $n_t$  con cui le particelle colpiscono il bersaglio  $\dot{ullet}$

$$\frac{1}{n_t} = \Delta t = t_2 - t_1 = t_0 + \frac{1}{n_g} + \frac{\dot{L}}{c} - \frac{\beta}{n_g} - t_0 - \frac{\dot{L}}{c} = \frac{1}{n_g} - \frac{\beta}{n_g}$$

$$rac{1}{n_t} = rac{1}{n_g}(1-eta) \qquad \left[ n_t^{} = rac{n_g^{}}{1-eta} 
ight]$$

$$n_t = \frac{n_g}{1 - \beta}$$



- Per finire osserviamo la differenza fra i due integrali
  - ullet L'integrale della densità di carica funzione del tempo "normale" t

$$\int \rho(\mathbf{r}',t)d^3\mathbf{r}' = q$$

ullet L'integrale della densità di carica funzione del tempo "ritardato"  $t_{
m r}$ 

$$\rho(\mathbf{r}', t_r) = \int_{-\infty}^{+\infty} \rho(\mathbf{r}', t') \delta(t' - t + \frac{|\mathbf{r} - \mathbf{r}'|}{c}) dt'$$

$$\delta(t' - t + \frac{R(t')}{c}) = \frac{\delta(t' - t_r)}{1 - \beta(t_r) \cdot \hat{\mathbf{n}}(t_r)} \left[ \int \rho(\mathbf{r}', t_r) d^3 \mathbf{r}' = \frac{q}{1 - \beta(t_r) \cdot \hat{\mathbf{n}}(t_r)} \right]$$

- ullet Il secondo integrale presuppone la definizione di un punto di osservazione  $({f r},t)$
- L'integrale usa valori della densità di carica presi a tempi diversi

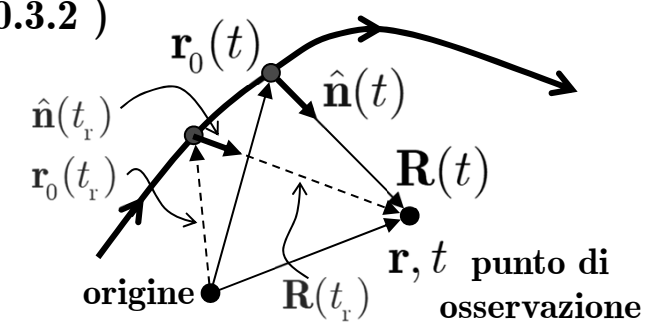
$$t_{\mathrm{r}} = t - \frac{\left|\mathbf{r} - \mathbf{r}'\right|}{c}$$

• Il dominio di integrazione di  ${f r}'$  in cui  $ho({f r}',t_{f r})$  è diversa da zero è più grande rispetto all'integrale precedente

# Campi di Liénard-Wiechert

- Le formule per i potenziali trovate sono semplici solo apparentemente
  - $\bullet$  Per passare ai campi E e B bisogna eseguire le derivate prestando molta attenzione alle quantità "ritardate"
  - ullet Un calcolo dettagliato  $\dot{f e}$  fatto nel Griffiths $^{\dagger}$  (  $\S~10.3.2$  )
  - Ricordiamo le definizioni della geometria

$$\mathbf{R}(t) = \mathbf{r} - \mathbf{r}_{\scriptscriptstyle 0}(t) = R(t)\hat{\mathbf{n}}(t)$$
$$t_{\scriptscriptstyle \Gamma} = t - \frac{R(t_{\scriptscriptstyle \Gamma})}{c}$$



• Il risultato per il campo elettrico è

$$\mathbf{E}(\mathbf{r},t) = \frac{q}{4\pi\varepsilon_0} \left[ \frac{(1-\beta^2)(\hat{\mathbf{n}}-\boldsymbol{\beta})}{g^3R^2} + \frac{\hat{\mathbf{n}}\times((\hat{\mathbf{n}}-\boldsymbol{\beta})\times\dot{\boldsymbol{\beta}})}{cg^3R} \right]_{\mathrm{ret}}$$

• Il risultato per il campo magnetico è

$$\mathbf{B}(\mathbf{r},t) = \frac{1}{c}\hat{\mathbf{n}}(t_{r}) \times \mathbf{E}(\mathbf{r},t)$$

 $g(t) = 1 - \beta(t) \cdot \hat{\mathbf{n}}(t)$ 

dentro le parentesi  $[\ ]$  tutto è calcolato al tempo  $t_{\rm r}$ 

- †Vedi Griffiths D. Introduction to Electrodynamics 3° ed. Prentice Hall 1999
- Vedi anche Zangwill A. Modern Electrodynamics CUP 2012 p. 875

# Campi di Liénard-Wiechert

• Esaminiamo più attentamente il campo elettrico

$$\mathbf{E}(\mathbf{r},t) = \frac{q}{4\pi\varepsilon_0} \left[ \frac{(1-\beta^2)(\hat{\mathbf{n}}-\boldsymbol{\beta})}{g^3R^2} + \frac{\hat{\mathbf{n}}\times((\hat{\mathbf{n}}-\boldsymbol{\beta})\times\dot{\boldsymbol{\beta}})}{cg^3R} \right]_{\mathrm{ret}}$$

- ullet Il campo risulta da due contributi diversi  $\mathbf{E}=\mathbf{E}_{\mathrm{v}}+\mathbf{E}_{\mathrm{a}}$ 
  - ullet Il primo termine  $\mathbf{E}_{\mathrm{v}}$  è chiamato campo di velocità
    - ullet Questo termine varia come  $1/R^2$
  - ullet Il secondo termine  $E_a$  è chiamato campo di accelerazione
    - ullet Questo termine varia come 1/R
    - ullet Anche il corrispondente  $B_{
      m a}$  varia come 1/R

$$\mathbf{B}(\mathbf{r},t) = \frac{1}{c}\hat{\mathbf{n}}(t_{r}) \times \mathbf{E}(\mathbf{r},t)$$

- ullet Il vettore di Poynting dei campi di accelerazione varia come  $1/R^2$ 
  - ullet Il flusso di energia attraverso una superficie di raggio R è costante
  - Il campo di accelerazione è la radiazione che viaggia
- ullet Ritorneremo più avanti sul problema della radiazione da parte di una carica di cui si conosce la legge del moto  ${f r}_0(t)$
- ullet Per comprendere meglio le formule calcoliamo i campi di una carica in moto rettilineo uniforme  ${f r}_0(t)={f v} t$



### Campo di una carica con v costante

- Specializziamo la formula al caso di una carica in moto rettilineo uniforme
  - Abbiamo già analizzato questo problema con altri metodi (vedi 162)
  - ullet Se la carica non accelera il campo di accelerazione è nullo  $E_{
    m a}=0$

$$\mathbf{E}(\mathbf{r},t) = \mathbf{E}_{\mathrm{v}} = \frac{q}{4\pi\varepsilon_{0}} \left[ \frac{1}{(1-\hat{\mathbf{n}}\cdot\boldsymbol{\beta})^{3}} \frac{(1-\beta^{2})(\hat{\mathbf{n}}-\boldsymbol{\beta})}{R^{2}} \right]_{\mathrm{ret}}$$

- ullet L'obbiettivo è esprimere la formula in funzione di t eliminando  $t_{
  m r}$
- Consideriamo la traiettoria della particella in moto
  - ullet Consideriamo un punto di osservazione  $(\mathbf{r},t)$
  - ullet Al tempo t la posizione della particella è  ${f r}_0(t)={f v} t$
  - ullet Al tempo precedente  $t_{
    m r}$  la particella è nella posizione  ${
    m r}_{
    m 0}(t_{
    m r})={
    m v}\,t_{
    m r}$
  - ullet Il tempo ritardato  $t_{
    m r}$  è la soluzione dell'equazione

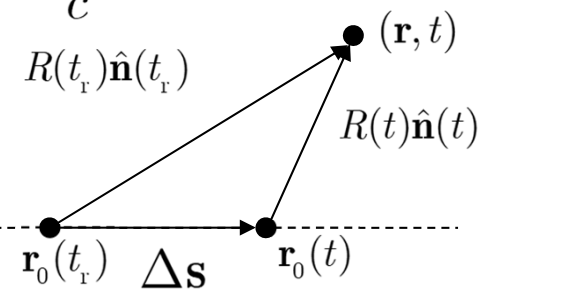
$$t_{_{\mathrm{T}}} = t - \frac{\left|\mathbf{r} - \mathbf{r}_{_{0}}(t_{_{\mathrm{T}}})\right|}{c} = t - \frac{R(t_{_{\mathrm{T}}})}{c} \qquad \qquad t - t_{_{\mathrm{T}}} = \frac{R(t_{_{\mathrm{T}}})}{c} \boxed{\mathbf{v}(t - t_{_{\mathrm{T}}}) = \boldsymbol{\beta}R(t_{_{\mathrm{T}}})}$$

$$\Delta \mathbf{s} \equiv \mathbf{v}(t - t_{_{\mathrm{T}}}) = \boldsymbol{\beta}R(t_{_{\mathrm{T}}}) \qquad \qquad R(t_{_{\mathrm{T}}})\hat{\mathbf{n}}(t_{_{\mathrm{T}}})$$

$$\Delta \mathbf{s} \equiv \mathbf{v}(t - t_{_{\mathrm{r}}}) = \boldsymbol{\beta} R(t_{_{\mathrm{r}}})$$

Rappresentiamo i vettori

o i vettori
$$R(t_{_{
m r}})\hat{f n}(t_{_{
m r}})=\Delta{f s}+R(t)\hat{f n}(t)$$
  ${f r}_{_{
m 0}}(t_{_{
m r}})$   $\Delta{f s}$ 



## Campo di una carica con v costante

Otteniamo pertanto

Otteniamo pertanto 
$$R(t_{_{\mathrm{r}}})\hat{\mathbf{n}}(t_{_{\mathrm{r}}}) = \Delta\mathbf{s} + R(t)\hat{\mathbf{n}}(t) \qquad R(t_{_{\mathrm{r}}})\hat{\mathbf{n}}(t_{_{\mathrm{r}}}) = \boldsymbol{\beta}R(t_{_{\mathrm{r}}}) + R(t)\hat{\mathbf{n}}(t)$$

$$\left|\hat{\mathbf{n}}(t_{_{\mathrm{r}}})-oldsymbol{eta}=rac{R(t)\hat{\mathbf{n}}(t)}{R(t_{_{\mathrm{r}}})}
ight|$$

$$\begin{vmatrix} \hat{\mathbf{n}}(t_{\mathrm{r}}) - \boldsymbol{\beta} = \frac{R(t)\hat{\mathbf{n}}(t)}{R(t_{\mathrm{r}})} \end{vmatrix} \qquad \mathbf{E}(\mathbf{r},t) = \frac{q}{4\pi\varepsilon_{0}} \left[ \frac{1}{(1-\hat{\mathbf{n}}\cdot\boldsymbol{\beta})^{3}} \frac{(1-\beta^{2})(\hat{\mathbf{n}}-\boldsymbol{\beta})}{R^{2}} \right]_{\mathrm{ret}}$$

- Useremo questa relazione per sviluppare il numeratore del campo
- Consideriamo ancora il grafico
  - ullet Calcoliamo la proiezione AB di  $\Delta {
    m s}$  su AC

$$AB = \Delta \mathbf{s} \cdot \hat{\mathbf{n}}(t_{r}) = R(t_{r})\boldsymbol{\beta} \cdot \hat{\mathbf{n}}(t_{r})$$

Inoltre

$$\begin{split} BC &= R(t_{_{\mathrm{r}}}) - R(t_{_{\mathrm{r}}})\boldsymbol{\beta} \cdot \hat{\mathbf{n}}(t_{_{\mathrm{r}}}) \\ &= R(t_{_{\mathrm{r}}})[1 - \boldsymbol{\beta} \cdot \hat{\mathbf{n}}(t_{_{\mathrm{r}}})] = R(t_{_{\mathrm{r}}})g(t_{_{\mathrm{r}}}) \end{split}$$

ullet Consideriamo i triangoli rettangoli BCD e BDA

Consideriumo i triangoli rettangoli 
$$BCD$$
 e  $BDA$  
$$\Delta \mathbf{S} = \beta R(t_{\mathrm{r}})$$
 
$$\overline{BD} = \overline{AD} \sin \alpha = \Delta s \sin \alpha = \beta R(t_{\mathrm{r}}) \sin \alpha$$
 
$$\beta^2 R^2(t_{\mathrm{r}}) \sin^2 \alpha + R^2(t_{\mathrm{r}}) g^2(t_{\mathrm{r}}) = R^2(t)$$
 
$$R(t_{\mathrm{r}}) \sin \alpha = R(t) \sin \theta$$
 
$$\beta^2 R^2(t) \sin^2 \theta + R^2(t_{\mathrm{r}}) g^2(t_{\mathrm{r}}) = R^2(t)$$

 $g(t) = 1 - \beta(t) \cdot \hat{\mathbf{n}}(t)$ 

### Campo di una carica con v costante

$$\beta^2 R^2(t) \sin^2 \theta + R^2(t_{r}) g^2(t_{r}) = R^2(t)$$

$$\beta^2 R^2(t) \sin^2 \theta + R^2(t_{_{\mathrm{I}}}) g^2(t_{_{\mathrm{I}}}) = R^2(t) \qquad \mathbf{E}(\mathbf{r},t) = \frac{q}{4\pi\varepsilon_0} \left[ \frac{1}{(1-\hat{\mathbf{n}}\cdot\boldsymbol{\beta})^3} \frac{(1-\beta^2)(\hat{\mathbf{n}}-\boldsymbol{\beta})}{R^2} \right]_{\mathrm{ret}}$$

Otteniamo

$$g^{2}(t_{r})R^{2}(t_{r}) = R^{2}(t)(1 - \beta^{2}\sin^{2}\theta)$$

 $g(t_r) = [1 - \boldsymbol{\beta} \cdot \hat{\mathbf{n}}(t_r)]$ 

Pertanto

$$g^{3}(t_{r})R^{3}(t_{r}) = R^{3}(t)(1-\beta^{2}\sin^{2}\theta)^{3/2}$$

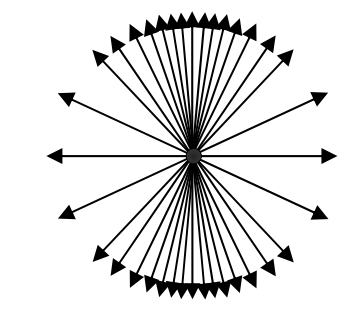
ricordiamo

$$\left|\hat{\mathbf{n}}(t_{_{\mathrm{r}}})-oldsymbol{eta}
ight|=rac{R(t)\hat{\mathbf{n}}(t)}{R(t_{_{\mathrm{r}}})}$$

• Inseriamo nell'espressione del campo

$$\mathbf{E}(\mathbf{r},t) = \frac{q}{4\pi\varepsilon_0} \left[ \frac{1}{(1-\hat{\mathbf{n}}\cdot\boldsymbol{\beta})^3} \frac{(1-\beta^2)(\hat{\mathbf{n}}-\boldsymbol{\beta})}{R^2} \right]_{\text{ret}}$$

$$\mathbf{E}(\mathbf{r},t) = \frac{q}{4\pi\varepsilon_0} \frac{1}{(1-\hat{\mathbf{n}}(t_{\rm r})\cdot\boldsymbol{\beta})^3} \frac{(1-\beta^2)\mathbf{R}(t)}{R^3(t_{\rm r})}$$



$$\mathbf{E}(\mathbf{r},t) = \frac{q}{4\pi\varepsilon_0} \frac{(1-\beta^2)\mathbf{R}(t)}{(1-\beta^2\sin^2\theta)^{3/2}R^3(t)}$$

Identico al risultato ottenuto in 167

### Potenziali di una carica con v costante

- Calcoliamo infine i potenziali di una carica che si muove con velocità v costante
  - Ricordiamo i risultati fin qui ottenuti

Ricordiamo i risultati fin qui ottenuti 
$$\mathbf{R}(t) = \mathbf{r} - \mathbf{r}_0(t) = R(t)\hat{\mathbf{n}}(t) \quad \mathbf{r}_0(t) = \mathbf{v}t$$

$$R(t) = \left| \mathbf{r} - \mathbf{v}t \right| \qquad t_{\mathrm{r}} = t - \frac{R(t_{\mathrm{r}})}{c}$$

$$q(t) = 1 - \beta(t) \cdot \hat{\mathbf{n}}(t)$$
  $q^3(t_x)R^3(t_x) = R^3(t)(1 - \beta^2 \sin^2 \theta)^{3/2}$ 

$$g(t_{_{\mathrm{r}}})R(t_{_{\mathrm{r}}}) = R(t)(1-eta^2\sin^2 heta)^{1/2}$$

ullet Per il potenziale  $\phi({f r},t)$ 

$$\phi(\mathbf{r},t) = \frac{q}{4\pi\varepsilon_0} \frac{1}{\left|\mathbf{r} - \mathbf{r}_0(t_{\rm r})\right|} \frac{1}{1 - \boldsymbol{\beta}(t_{\rm r}) \cdot \hat{\mathbf{n}}(t_{\rm r})} = \frac{q}{4\pi\varepsilon_0} \frac{1}{(1 - \beta^2 \sin^2 \theta)^{1/2}} \frac{1}{R(t)}$$

 $R(t_{_{\mathrm{r}}})$   $g(t_{_{\mathrm{r}}})$ 

ullet Per il potenziale  ${f A}({f r},t)$ 

$$\mathbf{A}(\mathbf{r},t) = \frac{q\mathbf{v}(t_{_{\mathrm{r}}})}{4\pi\varepsilon_{_{0}}} \frac{1}{\left|\mathbf{r} - \mathbf{r}_{_{0}}(t_{_{\mathrm{r}}})\right|} \frac{1}{1 - \boldsymbol{\beta}(t_{_{\mathrm{r}}}) \cdot \hat{\mathbf{n}}(t_{_{\mathrm{r}}})} = \frac{q\mathbf{v}}{4\pi\varepsilon_{_{0}}} \frac{1}{(1 - \beta^{2}\sin^{2}\theta)^{1/2}} \frac{1}{R(t)}$$

 $\bullet$   $(\mathbf{r},t)$ 

 $R(t)\hat{\mathbf{n}}(t)$ 

 $R(t_{\rm r})\hat{\mathbf{n}}(t_{\rm r})$ 

## Quantità di moto

- Un altro esempio sulla quantità di moto, apparente paradosso
  - ullet Consideriamo due sistemi di riferimento  $\Sigma$  e  $\Sigma'$ 
    - ullet  $\Sigma'$  si muove da destra verso sinistra con velocita v'
  - Supponiamo che nel sistema  $\Sigma'$  due cariche  $q_1$  e  $q_2$  si muovano con velocità opposte con lo stesso modulo v'
    - ullet Naturalmente nel sistema  $\Sigma$  la carica  $q_1$  è ferma mentre la carica  $q_2$  si muove con una velocità v
- Osserviamo innanzitutto che in entrambi i sistemi l'interazione fra le due cariche è solo elettrica
  - Infatti il campo magnetico nella posizione delle cariche è nullo

$${f B}=rac{1}{c^2}{f v} imes {f E}$$
 se  ${f v}$  ed  ${f E}$  sono paralleli segue che  ${f B}={f 0}$  po elettrico generato dalle due cariche è  $\sin heta'=0$   $eta'=rac{v'}{c}$ 

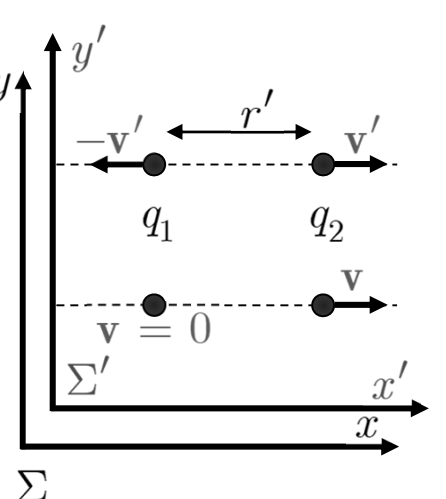
• Il campo elettrico generato dalle due cariche è

$$E_{1,2} = rac{1}{4\piarepsilon_0} rac{q_{1,2}}{r'^2} rac{1-eta'^2}{ig(1-eta'^2\sin^2 heta'ig)^{\!\!\!\!\!\!\!/_2}} = rac{1}{4\piarepsilon_0} rac{q_{1,2}}{r'^2} ig(1-eta'^2ig)$$

ullet Nel sistema  $\Sigma'$  su ciascuna carica agisce la forza

$$\mathbf{F_{1,2}} = \pm \frac{1}{4\pi\varepsilon_0} \frac{q_1 q_2}{r'^2} \left(1 - \beta'^2\right) \hat{\mathbf{e}}_{x'}$$

• Le due forze soddisfano la terza legge di Newton



## Quantità di moto

- ullet Analizziamo adesso il fenomeno nel sistema  $\Sigma$ 
  - ullet Nella posizione della carica  $q_1$  il campo elettrico  $\dot{ullet}$

alizziamo adesso il fenomeno nel sistema 
$$\Sigma$$
 Nella posizione della carica  $q_1$  il campo elettrico è  $\mathbf{E_1} = -\frac{1}{4\pi\varepsilon_0}\frac{q_2}{r^2}\Big(1-\beta^2\Big)\hat{\mathbf{e}}_x$   $\mathbf{F_{12}} = -\frac{1}{4\pi\varepsilon_0}\frac{q_1q_2}{r^2}\Big(1-\beta^2\Big)\hat{\mathbf{e}}_x$  Nella posizione della carica  $q_2$  il campo è elettrico è  $\mathbf{F}_1 = -\frac{1}{4\pi\varepsilon_0}\frac{q_1q_2}{r^2}\hat{\mathbf{e}}_x$ 

ullet Nella posizione della carica  $q_2$  il campo è elettrico è

$$\mathbf{E_2} = \frac{1}{4\pi\varepsilon_0} \frac{q_1}{r^2} \hat{\mathbf{e}}_x$$

$$\mathbf{E_2} = \frac{1}{4\pi\varepsilon_0} \frac{q_1}{r^2} \hat{\mathbf{e}}_x \qquad \qquad \mathbf{F_{21}} = \frac{1}{4\pi\varepsilon_0} \frac{q_1 q_2}{r^2} \hat{\mathbf{e}}_x$$

- Osserviamo che le due forze agiscono sulla congiungente ma hanno moduli diversi
- La terza legge di Newton non è soddisfatta
- Ancora una volta la soluzione si trova attribuendo quantità di moto al campo
  - Nella prossima diapositiva vedremo che che la quantità di moto del campo è

$$\mathbf{p}_{EM} = q\mathbf{A} \qquad \mathbf{A}\left(x,0,0,t\right) = \frac{\mu_0}{4\pi} \frac{q_2 v}{r + vt} \,\hat{\mathbf{e}}_x = \frac{1}{4\pi\varepsilon_0 c^2} \frac{q_2 v}{r + vt} \,\hat{\mathbf{e}}_x$$

• Utilizzando la quantità di moto del campo vedremo che

$$\mathbf{F_{12}} + \mathbf{F_{21}} = -\frac{d\mathbf{p}_{EM}}{dt}$$

$$\boxed{\mathbf{F_{12}} + \mathbf{F_{21}} = -\frac{d\mathbf{p}_{EM}}{dt}} \qquad \frac{d\mathbf{p}_{EM}}{dt} = q_2 \frac{d\mathbf{A}}{dt} = -\frac{1}{4\pi\varepsilon_0 c^2} \frac{q_1 q_2 v^2}{\left(r + vt\right)^2} \hat{\mathbf{e}}_x = -\frac{1}{4\pi\varepsilon_0} \frac{q_1 q_2 \beta^2}{r^2} \hat{\mathbf{e}}_x$$

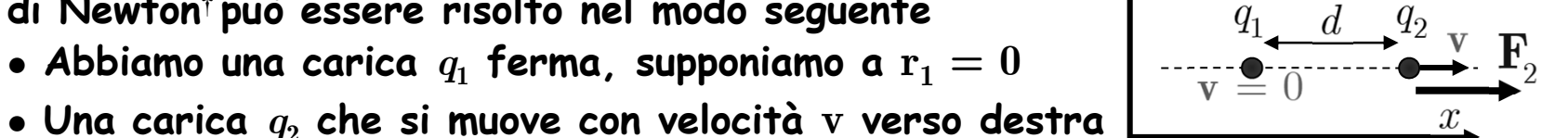
ullet Sommiamo  ${
m F_{12}}$  e  ${
m F_{21}}$ 

Jefimenko O. – European Journal of Physics 20 (1999) p. 39

$$\mathbf{F_{12}} + \mathbf{F_{21}} = \frac{1}{4\pi\varepsilon_0} \frac{q_1 q_2 \beta^2}{r^2} \hat{\mathbf{e}}_x$$

## Terza legge di Newton

- Il paradosso dell'apparente violazione della terza legge ydi Newton† può essere risolto nel modo seguente



- ullet Una carica  $q_2$  che si muove con velocità  ${
  m v}$  verso destra |
  - ullet La sua posizione al tempo t è  ${f r}_2(t)={f v}t=d$
- ullet La carica  $q_1$  genera il potenziale  $\phi_1({f r})$  indipendente dal tempo

$$\phi_{\!_{1}}(\mathbf{r}) = rac{q_{\!_{1}}}{4\piarepsilon_{\!_{0}}} rac{1}{(x^2+y^2+z^2)^{\!1/2}}$$

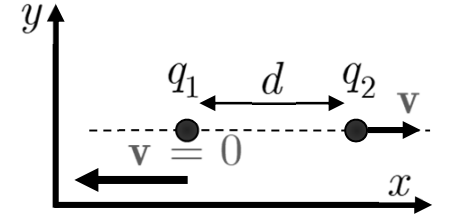
$$\begin{array}{l} \bullet \text{ La carica } q_2 \text{ genera i potenziali } \phi_2(\mathbf{r},t), \mathbf{A}(\mathbf{r},t) \\ \phi_2(\mathbf{r},t) = \frac{q_2}{4\pi\varepsilon_0} \frac{1}{(1-\beta^2\sin^2\theta)^{1/2}} \frac{1}{((x-vt)^2+y^2+z^2)^{1/2}} \\ \mathbf{A}(\mathbf{r},t) = \frac{q_2\mathbf{v}}{4\pi\varepsilon_0} \frac{1}{(1-\beta^2\sin^2\theta)^{1/2}} \frac{1}{((x-vt)^2+y^2+z^2)^{1/2}} \end{array}$$

- ullet Calcoliamo la forza  ${
  m F}_2$  esercitata da  $q_1$  su  $q_2$ :  ${
  m F}_2=q_2{
  m E}_1({
  m r}_2)$ 
  - Il campo  $\mathbf{E}_1$  è un campo elettrostatico  $\mathbf{F}_{\!\!\!2} = q_2 \mathbf{E}_1(\mathbf{r}_{\!\!2}) = -q_2 \mathbf{\nabla} \phi_1 = rac{q_1 q_2}{4\pi arepsilon_0} rac{\hat{\mathbf{e}}_r}{r^2} = rac{q_1 q_2}{4\pi arepsilon_0} rac{\mathbf{e}_x}{d^2}$
- †Vedi Zangwill A. Modern Electrodynamics CUP 2012 p. 511

## Terza legge di Newton

- Calcoliamo la forza  $F_1$  sulla carica  $g_1$ 
  - ullet È generata dalla carica  $q_2$  in movimento

dalla carica 
$$q_2$$
 in movimento  ${f F}_1=q_1{f E}_2({f r}_1)\!=-q_1{f 
abla}\phi_2-q_1rac{\partial {f A}}{\partial t}$  il gradiente di  $\phi_2$ 



ullet Calcoliamo il gradiente di  $\phi_2$ 

$$\phi_2(\mathbf{r},t) = \frac{q_2}{4\pi\varepsilon_0} \frac{1}{(1-\beta^2\sin^2\theta)^{1/2}} \frac{1}{((x-vt)^2+y^2+z^2)^{1/2}} \equiv f_1(\mathbf{r})f_2(\mathbf{r})$$

ullet Osserviamo preliminarmente che il calcolo finale andrà fatto per  ${
m r}=0$ 

$$\nabla \phi_2(\mathbf{r},t) = f_2(\mathbf{r}) \nabla f_1(\mathbf{r}) + f_1(\mathbf{r}) \nabla f_2(\mathbf{r})$$

Si verifica facilmente che

$$\left. \nabla f_1(\mathbf{r}) \right|_{\mathbf{r}=0} = 0 \qquad f_1(\mathbf{0}) = 1$$

• Otteniamo pertanto

$$\left. \mathbf{F}_{\!\! 1} = -q_1 \mathbf{\nabla} \phi_2 \right|_{\mathbf{r}=0} = rac{q_1 q_2}{4\pi arepsilon_0} rac{(x-vt)\hat{\mathbf{e}}_x + y\hat{\mathbf{e}}_y + z\hat{\mathbf{e}}_z}{\left[(x-vt)^2 + y^2 + z^2
ight]^{\!\! rac{3}{2}}} 
ight|_{\mathbf{r}=0} = -rac{q_1 q_2}{4\pi arepsilon_0} rac{\hat{\mathbf{e}}_x}{v^2 t^2}$$

ullet Osserviamo che il modulo di questo contributo a  ${f F}_1$  è uguale a quello di  ${f F}_2$ 



## Terza legge di Newton

Riassumendo

$$\mathbf{F}_{2} = \frac{q_{1}q_{2}}{4\pi\varepsilon_{0}}\frac{\hat{\mathbf{e}}_{x}}{d^{2}} \qquad \mathbf{F}_{1} = -\frac{q_{1}q_{2}}{4\pi\varepsilon_{0}}\frac{\hat{\mathbf{e}}_{x}}{v^{2}t^{2}} - q_{1}\frac{\partial\mathbf{A}}{\partial t} \qquad \qquad \mathbf{F}_{1} + \mathbf{F}_{2} = -q_{1}\frac{\partial\mathbf{A}}{\partial t}$$

- La terza legge di Newton sembra violata
- Alla forza corrisponde una variazione di quantità di moto

$$\mathbf{F}_{\!\scriptscriptstyle 1} + \mathbf{F}_{\!\scriptscriptstyle 2} = rac{d}{dt} \mathbf{p}_{\scriptscriptstyle \mathrm{mech}}$$

 $\bullet$  Concludiamo che per ripristinare la terza legge di Newton (e con essa la conservazione della quantità di moto) dobbiamo ipotizzare l'esistenza di una ulteriore quantità di moto  $p_{\rm EM}$  tale che

$$\frac{d}{dt}(\mathbf{p}_{\mathrm{mech}} + \mathbf{p}_{\mathrm{EM}}) = 0$$
  $\longrightarrow$   $\frac{d}{dt}\mathbf{p}_{\mathrm{EM}} = -\frac{d}{dt}\mathbf{p}_{\mathrm{mech}} = q_1 \frac{\partial \mathbf{A}}{\partial t}$ 

• E infine

$$\left|\mathbf{p}_{ ext{EM}}
ight.=q_{1}\mathbf{A}
ight|$$

- ullet A questo stesso risultato si può giungere a partire dalla definizione ullet  $g=rac{1}{r}S$ 
  - Nel sistema di riferimento in cui una delle cariche è a riposo, utilizzando il gauge di Coulomb e integrando su tutto lo spazio
  - †Vedi Zangwill A. Modern Electrodynamics CUP 2012, §15.5.3, p. 514

#### Radiazione

- Quando una carica subisce un'accelerazione si genera una perturbazione elettromagnetica che si disaccoppia dalle sorgenti che l'hanno generata
  - La perturbazione generata viaggia allontanandosi dalla sorgente
  - Trasporta energia e quantità di moto
    - La potenza (Joule al secondo) della radiazione, al tempo t, è data dal flusso del vettore di Poynting attraverso (ad esempio) la superficie A di una sfera di raggio r (con r molto grande)

$$\mathbf{S} = \frac{1}{\mu_0} \mathbf{E} \times \mathbf{B}$$
  $P(r,t) = \frac{1}{\mu_0} \int_A (\mathbf{E} \times \mathbf{B}) \cdot d\mathbf{a}$ 

- ullet La potenza al tempo t deve essere uguale alla potenza della radiazione emessa dalla sorgente al tempo precedente  $t_0=t-r/c$
- Abbiamo pertanto

$$P_{ ext{source}}\left(t_0^{}
ight)=P\left(r,t
ight)=P\left(r,t_0^{}+rac{r}{c}
ight)$$
 Il limite per  $r o\infty$  deve essere uguale a  $P_{ ext{source}}(t_0^{})$  e quindi indipendente da  $r$ 

- ullet Pertanto il flusso del vettore di Poynting non deve dipendere da r
- ullet Il flusso del vettore di Poynting S su una sfera di raggio r vale circa

$$P = rac{1}{\mu_0} \int_A ig( \mathbf{E} imes \mathbf{B} ig) \cdot d\mathbf{a} \, \sim ig| \mathbf{S} ig| 4 \pi r^2 \qquad P = \mathrm{cost} \qquad \Longrightarrow ig| \mathbf{S}_{\mathrm{rad}} ig| \sim rac{1}{r^2}$$

#### Radiazione

- Il ragionamento precedente ci dice che i campi statici o quasi statici che conosciamo non possono essere campi di radiazione
- $\left|\mathbf{S}_{ ext{rad}}
  ight|\simrac{1}{r^2}$

• Ad esempio, per un campo statico

$$E \sim rac{1}{r^2} \qquad \qquad B \sim rac{1}{r^2} \qquad \qquad \left| \mathbf{S} 
ight| \sim rac{1}{r^4} \; .$$

- ullet I campi derivati dai potenziali ritardati hanno dei termini che dipendono dalla derivata rispetto al tempo delle sorgenti e che variano come 1/r
  - Ad esempio consideriamo il campo elettrico (vedi diapositiva 468)

$$\mathbf{E}(\mathbf{r},t) = \frac{q}{4\pi\varepsilon_0} \left[ \frac{(1-\beta^2)(\hat{\mathbf{n}}-\boldsymbol{\beta})}{g^3R^2} + \frac{\hat{\mathbf{n}}\times((\hat{\mathbf{n}}-\boldsymbol{\beta})\times\dot{\boldsymbol{\beta}})}{cg^3R} \right]_{\mathrm{ret}} \mathbf{r}_0(t) \hat{\mathbf{n}}(t)$$

$$\mathbf{B} = \frac{1}{c}\hat{\mathbf{n}}(t_r)\times\mathbf{E} \qquad \mathbf{R}(t) = \mathbf{r} - \mathbf{r}_0(t) = R(t)\hat{\mathbf{n}}(t)$$
origin osservazione

- ullet Contiene termini che hanno la dipendenza da 1/r corretta
- Per studiare la radiazione pertanto occorre
  - Studiare la soluzione per i campi a grande distanza dalla sorgente
  - ullet Trascurare i termini che vanno a zero all'infinito più velocemente di 1/r
    - Questi termini si annullano per grandi distanze
    - In particolare diventa nullo il loro flusso di energia attraverso una superficie

- Consideriamo un sistema composto da due piccole sfere collegate da un cavo collegato ad un generatore di corrente. Il sistema è orientato lungo l'asse z
  - ullet Al tempo t le due sfere hanno carica

Al tempo 
$$t$$
 le due sfere hanno carica 
$$\pm q\left(t\right) = \pm q_0\cos\omega t \quad \text{è un dipolo p}\left(t\right) = p_0 \\ \hat{\mathbf{e}}_z\cos\omega t \\ \text{Il generatore fornisce pertanto una corrente} \\ I = \frac{dq}{dt} = -q_0\omega\sin\omega t \qquad Id\mathbf{l} \equiv I\hat{\mathbf{e}}_zdz.$$

$$I = rac{dq}{dt} = -q_0 \omega \sin \omega t \qquad Id\mathbf{l} \equiv I \hat{\mathbf{e}}_z dz.$$

• Calcoliamo il potenziale vettore A ritardato dovuto alle due cariche (v. 451)

• Calcoliamo il potenziale vettore A ritardato dovuto alle due cariche (v. 451) 
$$\mathbf{A}\left(\mathbf{r},t\right) = \frac{\mu_0}{4\pi} \int_V \frac{\mathbf{J}\left(\mathbf{r}',t_r\right)}{\left|\mathbf{r}-\mathbf{r}'\right|} dV' \qquad t_r = t - \frac{\left|\mathbf{r}-\mathbf{r}'\right|}{c}$$

$$= \frac{\mu_0}{4\pi} \int_{-\frac{d}{2}}^{+\frac{d}{2}} \frac{dz'}{\left|\mathbf{r}-\mathbf{r}'\right|} \int_S \mathbf{J}\left(\mathbf{r}',t_r\right) da'$$

$$egin{aligned} \mathbf{A}\left(\mathbf{r},t
ight) &= rac{\mu_0}{4\pi} \int_{-rac{d}{2}}^{+rac{d}{2}} rac{I\left(t_r
ight)\hat{\mathbf{e}}_z dz'}{\left|\mathbf{r}-z'\hat{\mathbf{e}}_z
ight|} \end{aligned} \qquad egin{aligned} dV' &= dz'da' \ \mathbf{r}-\mathbf{r}' &= \mathbf{r}-z'\hat{\mathbf{e}}_z \end{aligned}$$

$$x' + \frac{d}{2}$$

$$x' - \frac{d}{2}$$

$$dV' = dz'da'$$

$$\mathbf{r} - \mathbf{r}' = \mathbf{r} - z' \hat{\mathbf{e}}_z$$

$$\mathbf{A}(\mathbf{r},t) = rac{\mu_0}{4\pi} \int_{-rac{d}{2}}^{+rac{d}{2}} rac{I(t_r)\hat{\mathbf{e}}_z dz'}{\left|\mathbf{r}-z'\hat{\mathbf{e}}_z
ight|}$$

- Applichiamo le approssimazioni
  - ullet La dimensione del dipolo molto minore della distanza  $|z'| < d \ll r$  appr. 1
    - ullet Le varie approssimazioni di  $|{f r}-{f r}'|$  sono

$$\left|\mathbf{r} - z'\hat{\mathbf{e}}_z\right| = r\sqrt{1 + \frac{z'^2}{r^2} - 2\frac{z'}{r}\cos\theta} \approx r(1 - \frac{z'}{r}\cos\theta) \approx r \qquad \mathbf{A}(\mathbf{r}, t) = \frac{\mu_0}{4\pi r} \int_{-\frac{d}{2}}^{+\frac{d}{2}} I(t_r)\hat{\mathbf{e}}_z dz'$$

• La corrente del dipolo è (vedi diapositiva 482)

$$I(t_r) = -q_0 \omega \sin \omega (t - \left| \mathbf{r} - \mathbf{r}' \right| / c)$$

$$rac{\left|\mathbf{r}-\mathbf{r}'
ight|}{c}pproxrac{r}{c}-rac{z'\cos heta}{c}$$

ullet Il termine  $z^\prime {\cos heta/c}$  è molto piccolo e si può fare uno s ${
m vil}$ uppo in serie di  ${
m sin}()$ 

appr. 2  $I(t_{_{
m r}})pprox -q_{_0}\omegaig[\sin\omega(t-r\ /\ c)+(z'\omega\cos heta\ /\ c)\cos\omega(t-r\ /\ c)ig]$ 

 $\overline{ullet}$ Assumiamo che  $|z'| {<} d$  sia anche molto minore della lunghezza d'onda  $\lambda$ 

$$\lambda = \frac{2\pi c}{\omega} \qquad d \ll \frac{2\pi c}{\omega} \qquad \frac{\omega d}{c} \ll 2\pi \qquad \Longrightarrow \qquad \frac{\omega z'}{c} \sim \frac{\omega d}{c} \ll 2\pi \qquad \text{\'e trascurabile}$$

• La corrente approssimata è

$$I\!\left(t_{r}
ight) pprox -q_{0}\omega\sin\omega(t-r\ /\ c)$$

$$I\left(t_{r}\right)pprox-q_{0}\omega\sin\omega(t-r\ /\ c)$$

- L'approssimazione fatta ( $\omega z'/c$  trascurabile) significa che la velocità della carica  $(\sim z'\omega)$  è trascurabile rispetto a c (approssimazione non relativistica)
  - Equivale a dire che i ritardi nella corrente non sono importanti
- La corrente si può portare fuori dall'integrale

$$\mathbf{A}(\mathbf{r},t) = -\frac{\mu_0 \omega q_0}{4\pi r} \hat{\mathbf{e}}_z \sin \omega (t - r / c) \int_{-\frac{d}{2}}^{+\frac{d}{2}} dz' \qquad \mathbf{A}(\mathbf{r},t) = -\frac{\mu_0 \omega q_0 d}{4\pi r} \hat{\mathbf{e}}_z \sin \omega (t - r / c)$$

- Calcoliamo il potenziale scalare
  - ullet Per il potenziale scalare le approssimazioni fatte per  ${f A}$  sono grossolane
    - Vedi Feynman Lectures On Physics § 21.4 (pag. 21-8)

(usiamo V invece di  $\phi$ per evitare confusione)

• Si può utilizzare l'equazione del gauge di Lorenz

$$\frac{1}{c^2} \frac{\partial V}{\partial t} + \nabla \cdot \mathbf{A} = 0 \qquad \qquad \nabla \cdot \mathbf{A} = -\frac{1}{c^2} \frac{\partial V}{\partial t}$$

$$\mathbf{\nabla} \cdot \mathbf{A} = -rac{1}{c^2} rac{\partial V}{\partial t}$$

• Calcoliamo la divergenza di A

$$\nabla \cdot \mathbf{A} = \frac{\partial A_z}{\partial z} = -\frac{\mu_0 \omega q_0 d}{4\pi} \frac{\partial}{\partial z} \left[ \frac{1}{r} \sin \omega (t - r / c) \right]$$
$$= -\frac{\mu_0 \omega q_0 d}{4\pi} \left[ -\frac{2z}{r^3} \sin(\omega t - r / c) + \frac{\omega}{r} \frac{z}{rc} \cos \omega (t - r / c) \right]$$

$$\nabla \cdot \mathbf{A} = -\frac{\mu_0 \omega q_0 d}{4\pi} \left[ -\frac{1}{r^2} \frac{2z}{r} \sin(\omega t - r / c) + \frac{\omega}{rc} \frac{z}{r} \cos \omega (t - r / c) \right] \left[ \frac{z}{r} = \cos \theta \right]$$

ullet Trascuriamo  $1/r^2$  rispetto a  $\omega/rc$  approssimazione 3 -  $r\gg\lambda$ 

$$\frac{\partial A_z}{\partial z} pprox -\frac{\mu_0 \omega q_0 d}{4\pi} \frac{\omega z}{r^2 c} \cos \omega (t - r / c) = -\frac{\mu_0 \omega q_0 d}{4\pi} \frac{\omega \cos \theta}{r c} \cos \omega (t - r / c)$$

Riepilogando

$$\mathbf{\nabla \cdot A} = -\frac{\mu_0 \omega q_0 d}{4\pi} \frac{\omega \cos \theta}{rc} \cos \omega (t - r / c) \qquad \mathbf{\nabla \cdot A} = -\frac{1}{c^2} \frac{\partial V}{\partial t}$$

Possiamo calcolare il potenziale scalare

$$V(\mathbf{r},t) = \int \frac{\partial V}{\partial t} dt = c^2 \int \frac{\mu_0 \omega q_0 d}{4\pi} \frac{\omega \cos \theta}{rc} \cos \omega (t - r / c) dt$$

$$V(\mathbf{r},t) = \frac{\mu_0 c \omega q_0 d}{4\pi} \frac{\cos \theta}{r} \sin \omega (t - r / c)$$

Abbiamo posto uguale a zero la costante di integrazione

- In previsione della derivazione dei campi E e B esprimiamo A in coordinate sferiche
  - Ricordiamo che

$$\hat{\mathbf{e}}_z = \hat{\mathbf{e}}_r \cos \theta - \hat{\mathbf{e}}_{ heta} \sin \theta$$

$$\begin{split} \hat{\mathbf{e}}_{r} &= \sin \theta \cos \phi \hat{\mathbf{e}}_{x} + \sin \theta \sin \phi \hat{\mathbf{e}}_{y} + \cos \theta \hat{\mathbf{e}}_{z} \\ \hat{\mathbf{e}}_{\theta} &= \cos \theta \cos \phi \hat{\mathbf{e}}_{x} + \cos \theta \sin \phi \hat{\mathbf{e}}_{y} - \sin \theta \hat{\mathbf{e}}_{z} \\ \hat{\mathbf{e}}_{\phi} &= -\sin \phi \hat{\mathbf{e}}_{x} + \cos \phi \hat{\mathbf{e}}_{z} \end{split}$$

ullet I potenziali sono pertanto  $(p_0=q_0d)$ 

$$V\left(r,\theta,t\right) = -\frac{\mu_{0}cp_{0}\omega\cos\theta}{4\pi r}\sin\omega\left(t - \frac{r}{c}\right)$$

$$\mathbf{A}(r,\theta,t) = -\frac{\mu_0 p_0 \omega}{4\pi r} (\hat{\mathbf{e}}_r \cos \theta - \hat{\mathbf{e}}_\theta \sin \theta) \sin \omega (t - r / c)$$

• Calcoliamo il gradiente di V  $\nabla V = \hat{\mathbf{e}}_r \frac{\partial V}{\partial r} + \hat{\mathbf{e}}_\theta \frac{1}{r} \frac{\partial V}{\partial \theta} + \hat{\mathbf{e}}_\phi \frac{1}{r \sin \theta} \frac{\partial V}{\partial \phi}$ 

$$=-\frac{\mu_{0}cp_{0}\omega}{4\pi}\bigg\{\hat{\mathbf{e}}_{r}\cos\theta\bigg[-\frac{1}{r^{2}}\sin\bigg(t-r\:/\:c\bigg)-\frac{\omega}{rc}\cos\omega\big(t-r\:/\:c\bigg)\bigg]-\hat{\mathbf{e}}_{\theta}\frac{\sin\theta}{r^{2}}\sin\bigg(t-r\:/\:c\bigg)\bigg\}$$

• Trascuriamo i termini  $1/r^2$  rispetto a  $\omega/rc$  (approssimazione 3)

$$\nabla V = \frac{\mu_0 p_0 \omega^2}{4\pi} \frac{\cos \theta}{r} \hat{\mathbf{e}}_r \cos \omega (t - r / c)$$

$$\nabla V = \frac{\mu_0 p_0 \omega^2}{4\pi} \frac{\cos \theta}{r} \hat{\mathbf{e}}_r \cos \omega (t - r / c)$$

• Inoltre

$$\frac{\partial}{\partial t} \mathbf{A} (r, \theta, t) = -\frac{\mu_0 p_0 \omega^2}{4\pi r} (\hat{\mathbf{e}}_r \cos \theta - \hat{\mathbf{e}}_\theta \sin \theta) \cos \omega (t - r / c)$$

ullet Otteniamo infine il campo elettrico di radiazione  $oldsymbol{\mathbf{E}}_{\mathrm{rad}} = -oldsymbol{
abla}\,V - rac{\partial \mathbf{A}}{\partial t}$ 

$$=-\frac{\mu_{0}p_{0}\omega^{2}}{4\pi}\frac{\cos\theta}{r}\hat{\mathbf{e}}_{r}\cos\omega\left(t-r\ /\ c\right)+\frac{\mu_{0}p_{0}\omega^{2}}{4\pi r}\left(\hat{\mathbf{e}}_{r}\cos\theta-\hat{\mathbf{e}}_{\theta}\sin\theta\right)\cos\omega\left(t-r\ /\ c\right)$$

$$\mathbf{E}_{\mathrm{rad}}\left(r,\theta,t\right) = -\hat{\mathbf{e}}_{\theta} \frac{\mu_{0} p_{0} \omega^{2}}{4\pi} \frac{\sin \theta}{r} \cos \omega \left(t - r / c\right)$$

ullet Per il campo magnetico  $\mathbf{B} = oldsymbol{
abla} imes \mathbf{A}$ 

$$=\frac{1}{r\sin\theta}\bigg[\frac{\partial\left(\sin\theta A_{_{\!\phi}}\right)}{\partial\theta}-\frac{\partial A_{_{\!\theta}}}{\partial\phi}\bigg]\hat{\mathbf{e}}_{_{\!r}}+\frac{1}{r}\bigg[\frac{1}{\sin\theta}\frac{\partial A_{_{\!r}}}{\partial\phi}-\frac{\partial\left(rA_{_{\!\phi}}\right)}{\partial r}\bigg]\hat{\mathbf{e}}_{_{\!\theta}}+\frac{1}{r}\bigg[\frac{\partial\left(rA_{_{\!\theta}}\right)}{\partial r}-\frac{\partial A_{_{\!r}}}{\partial\theta}\bigg]\hat{\mathbf{e}}_{_{\!\phi}}$$

$$\mathbf{B}ig(r, heta,tig) = rac{1}{r}igg[rac{\partialig(rA_{ heta}ig)}{\partial r} - rac{\partial A_{r}}{\partial heta}igg]\hat{\mathbf{e}}_{\phi}$$

$$\mathbf{A}(r,\theta,t) = -\frac{\mu_0 p_0 \omega}{4\pi r} (\hat{\mathbf{e}}_r \cos \theta - \hat{\mathbf{e}}_\theta \sin \theta) \sin \omega (t - r / c) \mathbf{B}(r,\theta,t) = \frac{1}{r} \left| \frac{\partial (rA_\theta)}{\partial r} - \frac{\partial A_r}{\partial \theta} \right| \hat{\mathbf{e}}_\phi$$

Calcoliamo le derivate

$$\frac{1}{r}\frac{\partial\left(rA_{\theta}\right)}{\partial r} = -\frac{\mu_{0}p_{0}\omega^{2}}{4\pi c}\frac{\sin\theta}{r}\cos\omega\left(t - r / c\right) \qquad \frac{1}{r}\frac{\partial A_{r}}{\partial \theta} = \frac{\mu_{0}p_{0}\omega^{2}}{4\pi c}\frac{\sin\theta}{r^{2}}\sin\omega\left(t - r / c\right)$$

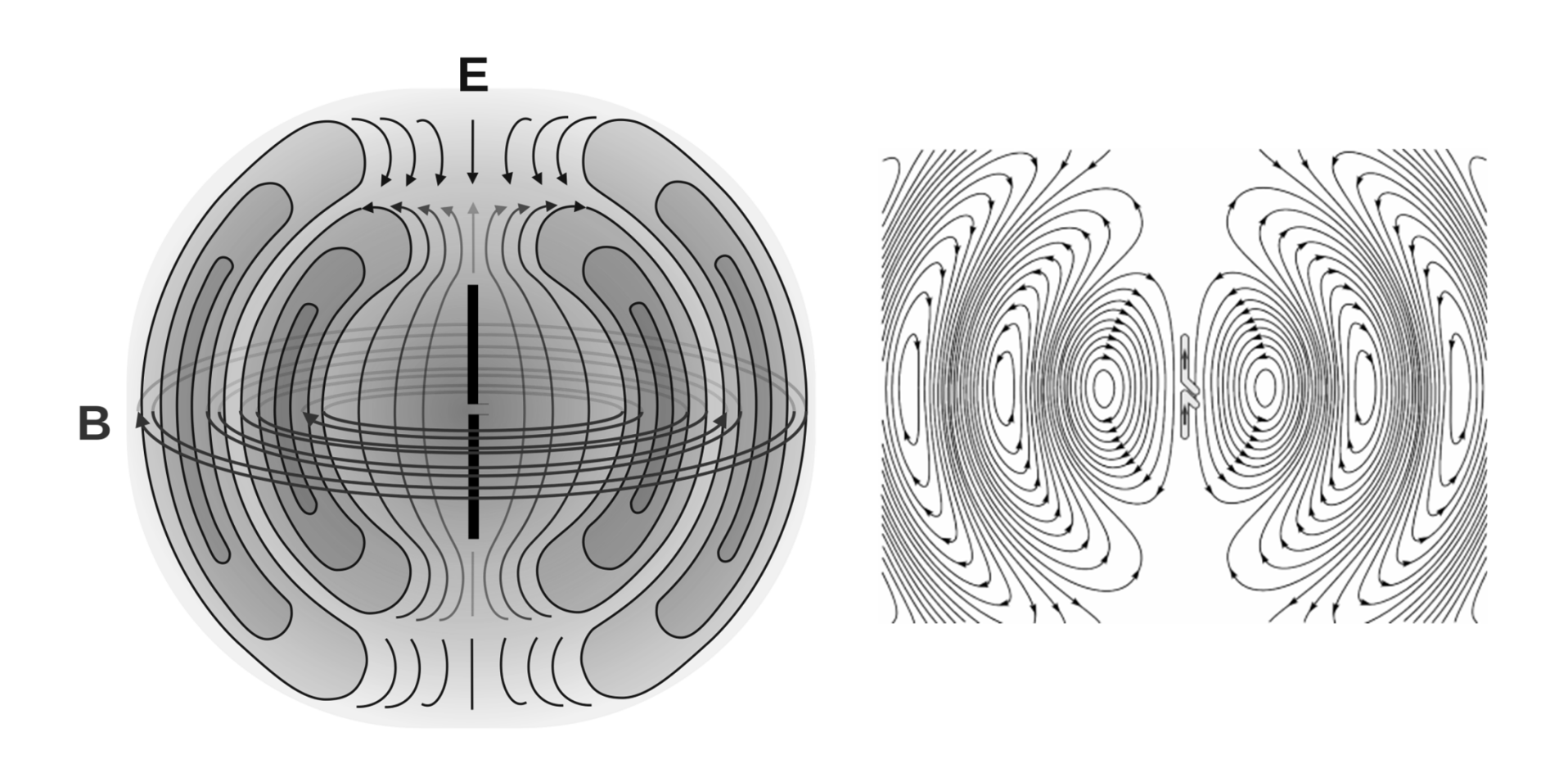
- ullet Il secondo termine va come  $1/r^2$  ed è trascurabile rispetto al primo appr. 3

Concludiamo

$$\mathbf{B}_{\mathrm{rad}}\left(r,\theta,t\right) = -\frac{\mu_{0}p_{0}\omega^{2}}{4\pi c}\frac{\sin\theta}{r}\hat{\mathbf{e}}_{\phi}\cos\omega\left(t - r / c\right)$$

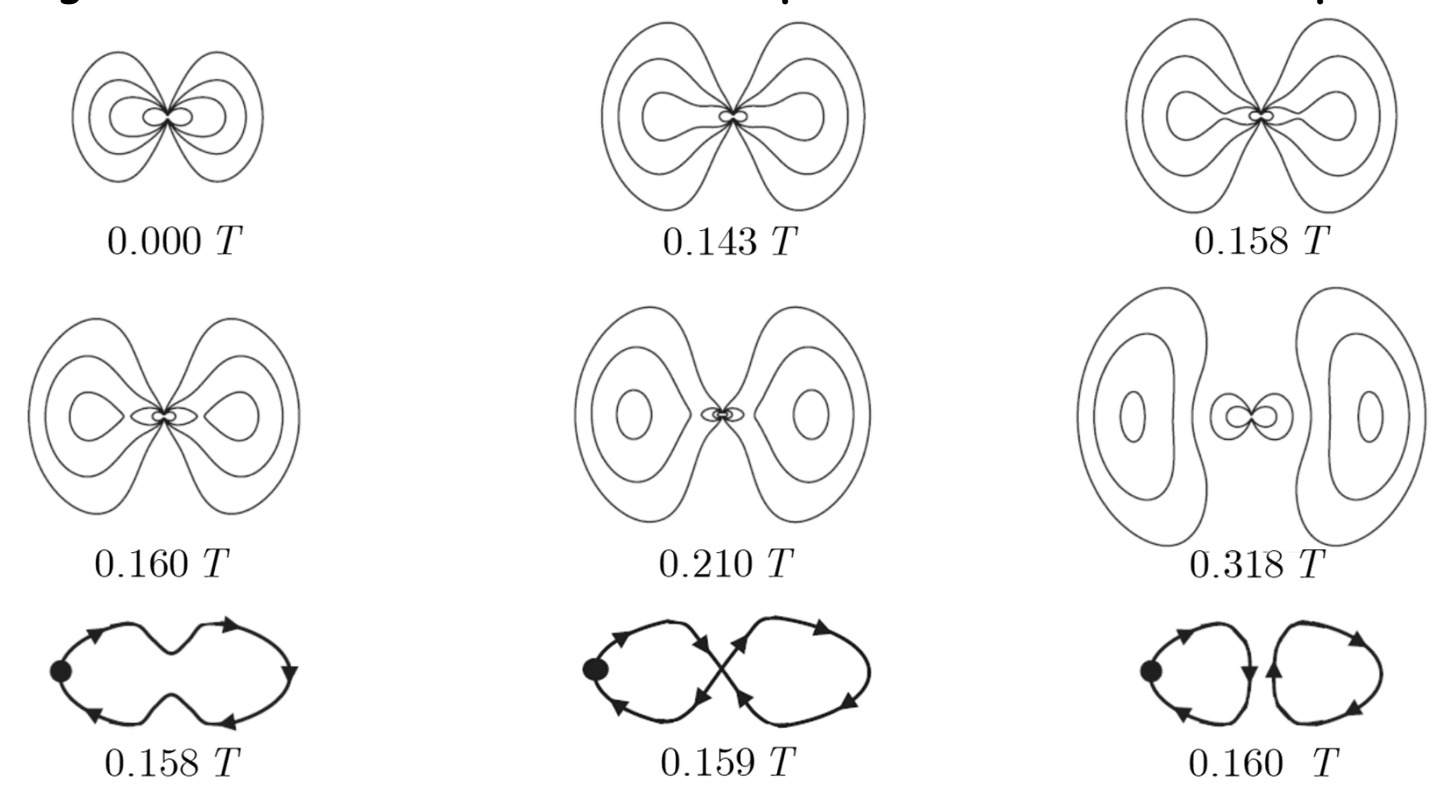
$$\mathbf{E}_{\mathrm{rad}}\left(r,\theta,t\right) = -\frac{\mu_{0}p_{0}\omega^{2}}{4\pi}\frac{\sin\theta}{r}\hat{\mathbf{e}}_{\theta}\cos\omega\left(t - r / c\right)$$

- Come previsto la soluzione è un'onda elettromagnetica che si propaga in direzione radiale ê
  - $\bullet$  I campi  $E_{\rm rad}$  e  $B_{\rm rad}$  sono perpendicolari alla direzione di propagazione
    - ullet Inoltre sono perpendicolari fra di loro e  $E_{
      m rad}/B_{
      m rad}=c$
  - Osserviamo che non è un'onda piana bensì un'onda sferica



#### La nascita della radiazione

- Uno studio accurato<sup>†</sup> dei campi trovati permette di comprendere meglio come si forma la radiazione
  - Un campo disaccoppiato dalle sorgenti
  - ullet Le figure mostrano l'evoluzione nel tempo di alcune linee del campo  ${f E}$



• †Vedi Zangwill A. – Modern Electrodynamics CUP 2012 p. 731